

Plasmas micro-onde basse pression et Procédés associés

Stéphane Béchu, Alexandre Bès, Ana Lacoste

P. Baële, C. Prahoveanu, A. Todoran, R. Maurau, M. Coste, S. Aleifeiris

LPSC - Centre de Recherche Plasmas-Matériaux-Nanostructures
CNRS, Université Grenoble Alpes

**Réseau CNRS Journées Plasmas Froids
La Rochelle, 2014**

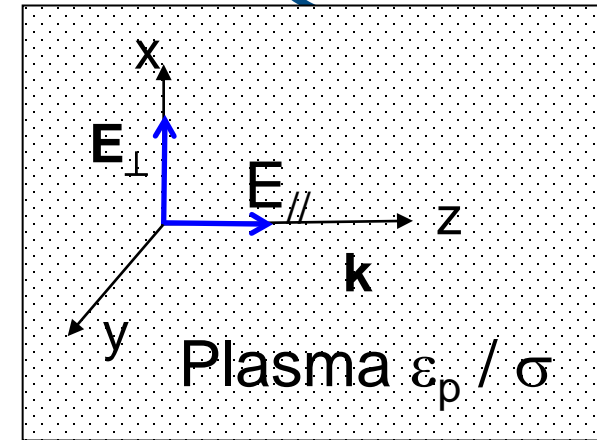
- ❑ **Onde-Plasma (absorption d'énergie du champ E par les électrons dans le domaine basse pression $\nu \ll \omega$)**
 - Plasma infini (onde de volume)
 - Plasma limité (onde de surface)
- ❑ **Dispositifs de production du plasma (exemples)**
 - Dispositifs de couplage (guide, surfatron, fentes, coax,...)
- ❑ **Couplage Onde-Plasma**
 - Mode coupleur-plasma
 - Impédance
- ❑ **Procédés plasma micro-onde basse pression**
- ❑ **Avantages / inconvénients**

Onde / Plasma – milieu infini

- Onde caractérisée par l'équation de dispersion

$$\mathbf{E}(\mathbf{r}, t) = \mathbf{E} e^{i(\mathbf{k} \cdot \mathbf{z} - \omega t)}$$

$$\left[\left(\frac{\omega}{c} \right)^2 \varepsilon_p - k^2 \right] \mathbf{E}_{\perp} + \left(\frac{\omega}{c} \right)^2 \varepsilon_p \mathbf{E}_{\parallel} = 0$$



Onde transversale (EM)

$$k_z^2 = \left(\frac{\omega}{c} \right)^2 \varepsilon_{pxx} = \left(\frac{\omega}{c} \right)^2 \left[1 + \frac{\sigma_{xx}}{-i\varepsilon_0 \omega} \right]$$

Onde longitudinale (EP)

$$\varepsilon_{pzz} = \left[1 + \frac{\sigma_{zz}}{-i\varepsilon_0 \omega} \right] = 0$$

- Plasma (approche fluide ou cinétique) conductivité : \mathbf{v}

- Onde-plasma $\mathbf{J} = \sigma \mathbf{E}$ (Ohm) $\nabla \cdot \mathbf{E} = \rho / \varepsilon_0$ (Poisson) : $\mathbf{v} \rightarrow \sigma \rightarrow \varepsilon_p \rightarrow k$

► **Onde transversale EM** ($v_{th} \ll v_{\phi}$)

$$\sigma = i \frac{\omega_p^2 \epsilon_0}{(\omega + i\nu)}$$

Plasma / conducteur

► **Ondes longitudinale EP** (cas $\nu = 0$)

$$\sigma = i \frac{\omega_p^2 \epsilon_0}{\omega \left(1 - \frac{3v_{th}^2}{2v_{\phi}^2} \right) + i\nu}$$

Plasma / Diélectrique

$$\epsilon_p = 1 - \frac{\omega_p^2}{\omega (\omega + i\nu)}$$

$$\epsilon_p = 1 - \frac{\omega_{pe}^2}{\omega \left(\omega \left(1 - \frac{3v_{th}^2}{2v_{\phi}^2} \right) + i\nu \right)}$$

Impédance plasma

$$Z_p = \frac{Z_0(\omega, \text{géométrie applicateur})}{\epsilon_p(\omega, \omega_p, \nu)}$$

$$k^2 = \left(\frac{\omega}{c} \right)^2 \left[1 - \frac{\omega_p^2}{\omega^2 (1 + i\nu/\omega)} \right]$$

Onde / dispersion

$$\omega^2 = \omega_p^2 + \frac{3}{2} v_{th}^2 k^2 \quad (\nabla p \neq 0)$$

Champ électrique

$$\mathbf{E} = \mathbf{E}_0 e^{i(k_R + ik_I)z}$$

$$\mathbf{E} = \mathbf{E}_0 e^{ik_R z} e^{-k_I z}$$

$$\delta = k_I^{-1}$$

Propagation

Atténuation

Épaisseur de peau

□ PROPAGATION / ATTENUATION - ABSORPTION de puissance de l'onde par les électrons

– Absorption collisionnelle ($\nu > \omega$)

Plasma moyenne et haute pression

– Absorption résonnante ($\nu \ll \omega$)

Plasma basse pression ($p < 100$ mTorr)

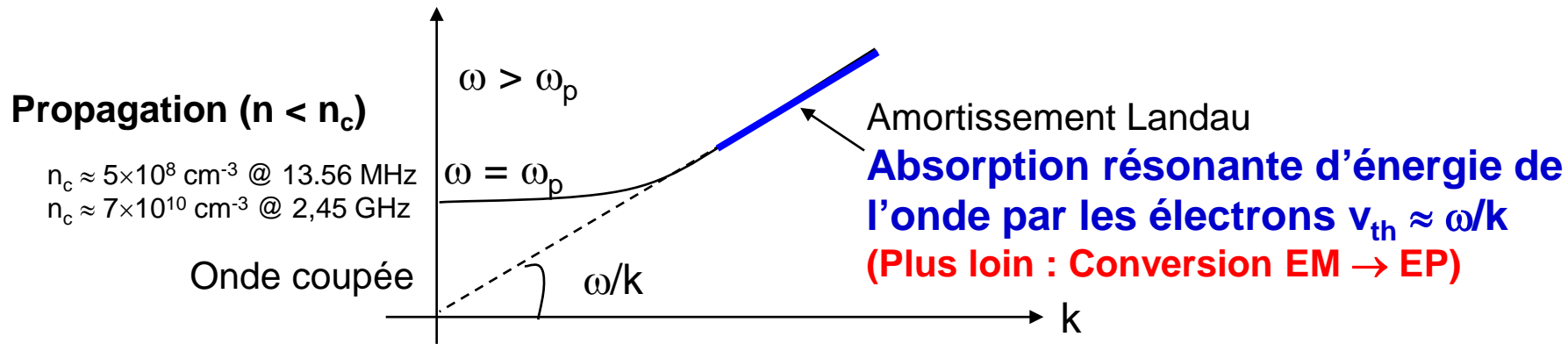
□ ONDE PLASMA ($E // k$)

□ ONDE LONGITUDINALE ($E \perp k$)

Onde Plasma (EP) cas $v \ll \omega$ - Résonance

□ **Equation de dispersion (approche fluide)** $\sigma = i \frac{\omega_p^2 \epsilon_0}{\omega} \left(1 + \frac{3}{2} \frac{v_{th}^2}{v_\phi^2} \right)$

$$\omega^2 = \omega_p^2 + \frac{3}{2} v_{th}^2 k^2 \quad (\nabla p \neq 0)$$



□ **Equation de dispersion (approche cinétique)**

$$\sigma = i \frac{ne^2}{m\omega} \left(1 + \frac{3}{2} \frac{v_{th}^2}{v_\phi^2} + i\pi \frac{\omega^2}{k^2} \frac{\partial F_0}{\partial w_{||}} \Big|_{\frac{\omega}{k}} \right)$$

$$\omega^2 = \omega_p^2 \left(1 + \frac{3}{2} \frac{v_{th}^2}{v_\phi^2} + i\pi \left(\frac{\omega}{k} \right)^2 \frac{\partial F_0}{\partial w_{||}} \Big|_{\frac{\omega}{k}} \right)$$

Terme supplémentaire \rightarrow partie réelle de la conductivité \Rightarrow absorption de puissance

$$P = \frac{1}{2} \text{Re} \{ \sigma E^2 \}$$

Onde Electromagnétique (EM)

$$\sigma = i \frac{\omega_{pe}^2 \epsilon_0}{(\omega + iv)} \quad \epsilon_p = 1 - \frac{\omega_{pe}^2}{\omega(\omega + iv)} \quad k = \frac{\omega}{c} \sqrt{\epsilon_p} = \frac{\omega}{c} \sqrt{1 - \frac{\omega_{pe}^2}{v^2 + \omega^2} + i \frac{v}{\omega} \frac{\omega_{pe}^2}{v^2 + \omega^2}} = k_R + i k_I$$

$$\frac{|\sigma|}{\omega \epsilon_0} = \frac{\omega_{pe}^2}{\omega^2 \sqrt{1 + (v/\omega)^2}} \quad E(r, t) = E e^{ik_R z} e^{-z/\delta}$$

Domaine élastique

Plasma **non-collisionnel** $\omega \gg v$

Fréquences dispersives $\omega > \omega_p > v$

$$\frac{|\sigma|}{\omega \epsilon_0} \ll 1 \quad (\text{courant de déplacement non-négligeable})$$

Domaine résistif

Plasma **collisionnel** $\omega \ll v$

Milieu dilué $\omega_p^2 < v\omega$

$$\frac{|\sigma|}{\omega \epsilon_0} \ll 1 \quad (\text{courant de déplacement non-négligeable})$$

Fréquences réactives $\omega_p \gg \omega > v$

$$\frac{|\sigma|}{\omega \epsilon_0} \gg 1 \quad (\text{impédance plasma - inductif})$$

Milieu dense $\omega_p^2 > v\omega$

$$\frac{|\sigma|}{\omega \epsilon_0} \gg 1 \quad (\text{impédance plasma - résistif})$$

Domaine d'intérêt (plasma dense $n > n_c$, basse pression)

Onde Electromagnétique (EM)

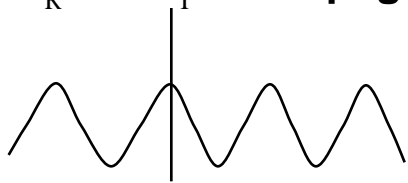
Plasma non-collisionnel : $\omega \gg \nu$

$$\sigma = i\sigma_I \quad \varepsilon_p = 1 - \frac{\omega_p^2}{\omega^2} \quad \omega^2 = \omega_p^2 + c^2 k^2$$

Fréquences dispersives $\omega > \omega_p > \nu$

$$n < n_c (7.5 \times 10^{10} \text{ cm}^{-3} @ 2.45 \text{ GHz})$$

$k = k_R + 0k_I$ **Propagation sans atténuation**



$$\delta = \infty$$

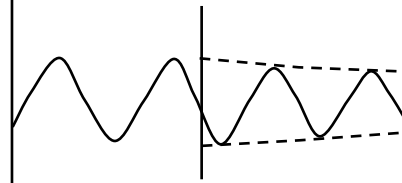
Plasma collisionnel : $\omega \ll \nu$

$$\sigma_R = \sigma_{DC} = \frac{\omega_p^2 \varepsilon_0}{\nu}$$

Milieu dilué $\omega_p^2 < \nu\omega < \nu^2$

$$n < n_c$$

$k \cong k_R + ik_I$ **Propagation + faible atténuation**



$$\delta = \frac{2c\nu}{\omega_p^2} \gg \frac{\lambda_0}{2\pi}$$

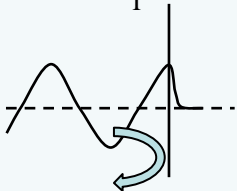
$$30 \text{ cm} \quad (n = 10^{10} \text{ cm}^{-3}, p = 4 \text{ Torr})$$

Fréquences réactives $\omega_p > \omega > \nu$

$$n > n_c$$

Onde évanescente

$$k = 0 + ik_I$$



$$\delta \cong \frac{c}{\omega_p} \ll \frac{\lambda_0}{2\pi}$$

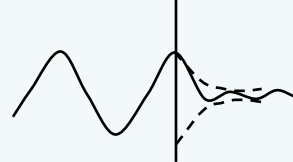
$$5 \text{ mm} (n = 10^{12} \text{ cm}^{-3}, 100 \text{ mTorr})$$

Milieu dense $\omega_p^2 > \nu\omega, \omega_p > \omega, \omega < \nu$

$$n > n_c$$

Propagation + forte atténuation

$$k \cong k_R + ik_I$$



$$\delta = \frac{c}{\omega_p} \sqrt{\frac{2\nu}{\omega}} = \sqrt{\frac{2}{\mu_0 \omega \sigma_{DC}}} \ll \frac{\lambda_0}{2\pi}$$

$$8 \text{ mm} (n = 10^{12} \text{ cm}^{-3}, p = 4 \text{ Torr})$$

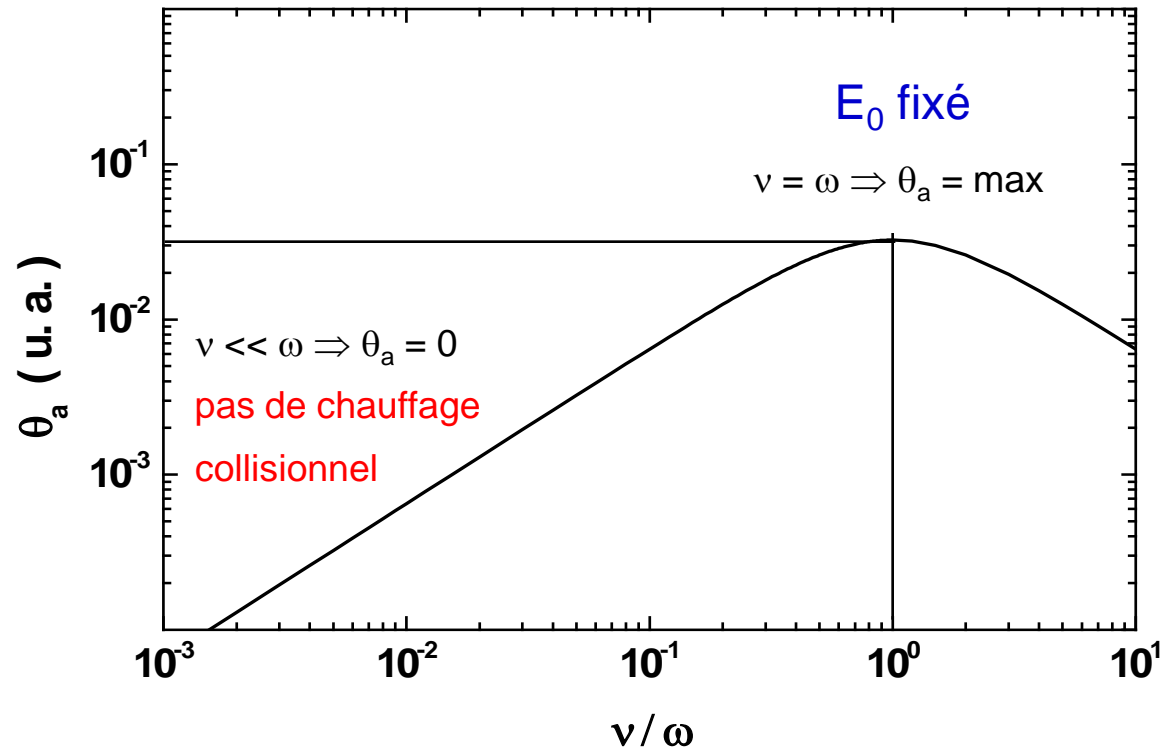
Pas de chauffage ohmique (collisionnel)

Chauffage ohmique (collisionnel)

$$P \text{ (W/m}^3\text{)} = n \frac{e^2 |E|^2}{2m_e \nu} \frac{\nu^2}{\nu^2 + \omega^2} = n \theta$$

- θ puissance moyenne (sur une période) absorbée par un électron nécessaire au maintien d'une paire électron-ion dans le plasma

$$\theta_a = \frac{e^2 E^2}{m_e \nu} \frac{\nu^2}{2(\nu^2 + \omega^2)}$$

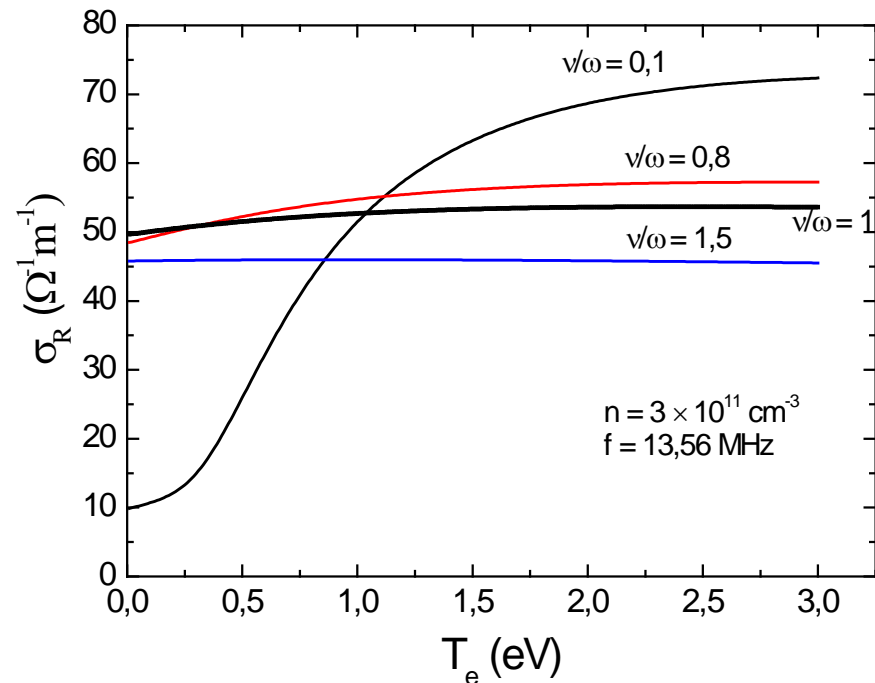


- Pour $\nu \ll \omega$ (basse pression) chauffage par d'autres mécanismes :
 - Résonances du type Landau (EP-onde plasma, EM-onde elmg.)
 - Onde de surface (plasma limité, cf. suite)
 - ECR si $B \neq 0$

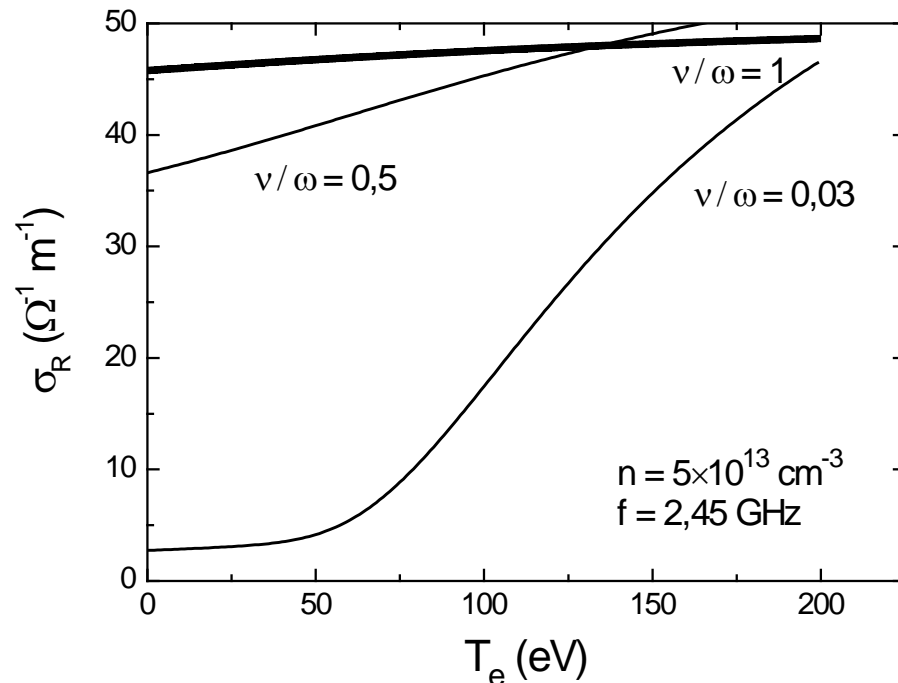
Onde Electromagnétique (EM) cas $v \ll \omega$ Résonance (type Landau)

Approche cinétique

$$\sigma_{\perp} = i \frac{ne^2}{m} \frac{1}{\omega} \left(1 + \frac{3}{2} \left(\frac{kv_{th}}{\omega} \right)^2 - i\sqrt{\pi} \left(\frac{\omega}{kv_{th}} \right) e^{-\frac{w^2}{v_{th}^2}} \right) \frac{\omega}{k}$$



Domaine RF (*S. Rauf et al., PSST 6 (1997)*)



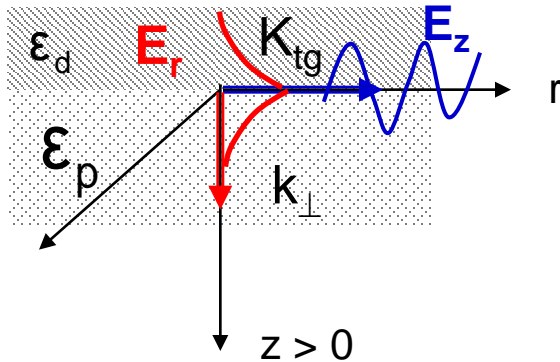
Domaine micro-ondes

Peu probable pour les conditions habituelles

T_e faible $\Rightarrow \sigma_R = \sigma_{R \text{ froids}}$ due aux électrons froids (chauffage collisionnel)

$T_e > 1 \text{ eV} \Rightarrow \sigma_R = \sigma_{R \text{ froids}} (1 + W)$ où W = contribution des électrons chauds (chauffage non-collisionnel) qui est d'autant plus grande que v / ω est faible.

- **ONDE DE SURFACE** (Mode TM: $H_z = 0$, continuité du E_{tg} à l'interface)



- E_z se propage le long de l'interface diélectrique plasma (**onde de surface**)

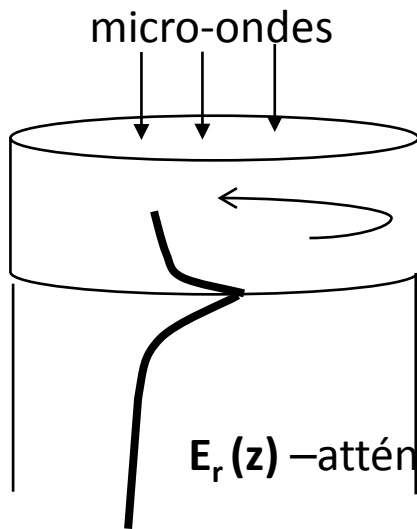
$$k_{tg} = \frac{\omega}{c} \sqrt{\frac{\epsilon_p \epsilon_d}{\epsilon_p + \epsilon_d}}$$

- Basse pression ($v \ll \omega$) $\epsilon_p = 1 - \frac{\omega_p^2}{\omega^2}$

- **Propagation si $n > n_c$ ($\omega > \omega_p$)**

- **Résonance** ($k_{tg} \rightarrow \infty$) si $\frac{\omega_p}{\omega} = \sqrt{1 + \epsilon_d}$

- Si $n > n_c \rightarrow E_r$ évanescente dans la direction k_{\perp}



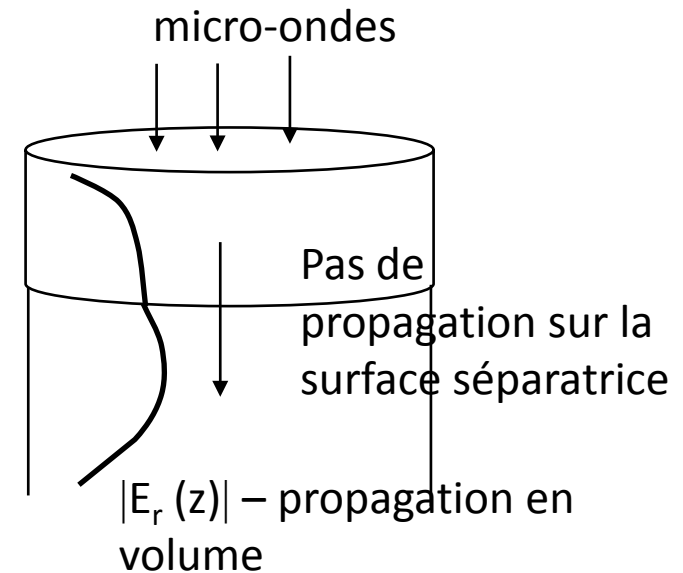
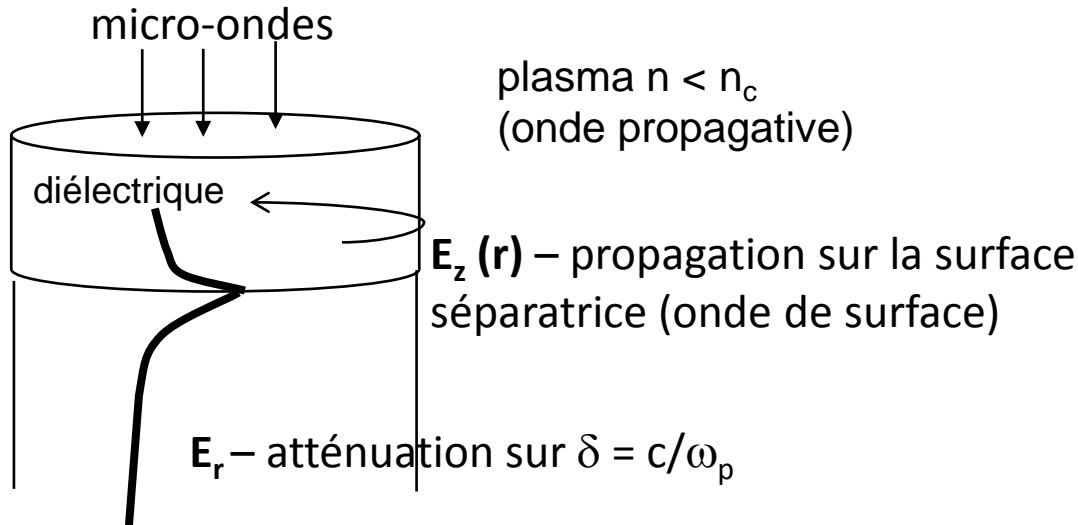
$E_z(r)$ – propagation sur la surface séparatrice (onde de surface)

$E_r(z)$ –atténuation sur $\delta = c/\omega_p$

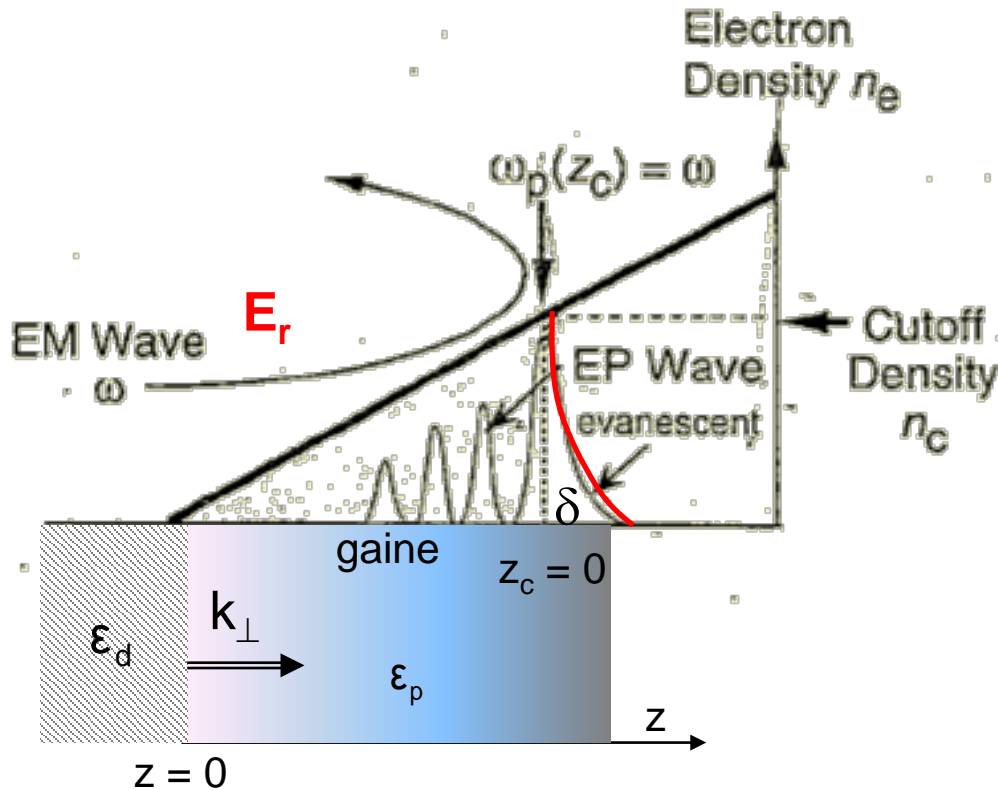
$$k_{\perp p(d)} = \frac{\omega}{c} \frac{\epsilon_{p(d)}}{\sqrt{\epsilon_p + \epsilon_d}}$$

□ Si $n > n_c \rightarrow$ onde EM de surface

□ Si $n < n_c \rightarrow$ onde EM en volume



ONDE DE SURFACE : mécanismes de chauffage



H. Sugai et al. PSST 7 (1998)
(3 mTorr, $n = 10^{12} \text{ cm}^{-3}$)

□ $\omega \approx \omega_p$ (résonance) → Pic du champ E_z (onde de surface) dans une zone de résonance $\Delta \ll \delta$ → les électrons acquièrent de l'énergie si temps de transit $\tau \sim 2\pi/\omega$

$$\delta/v_{th} \sim (4 \times 10^{-10}) \rightarrow v_{th} T_e \approx 1 \text{ eV}$$

$$\Delta/v_{th} \sim (4 \times 10^{-10}) \rightarrow v_{th} T_e \approx \text{mV}$$

*L. Alves et al, Phys. Rev. E 79, 2009

** Terebessy et al. Appl. Phys 77 (18) 2000

□ Conversion de l'onde EM en onde EP ($n < n_c$, $\nabla n \neq 0$), et absorption par effet résonant (Landau)

*Y.M. Aliev et al, Phys. Scr. 48, 1993

**H. Sugai et al. PSST 7 (1998)

***O. Boudreault et al. Phys. Rev. E 86 2012

□ Onde PLASMA ($E_{//} // k$) – **(volume)** Propagation pour $n < n_c$

➤ Absorption d'énergie résonnante (Landau) par les électrons *chauds* ($v_{th} \approx \omega/k$)

□ Onde ELECTROMAGNETIQUE ($E_{\perp} // k$) – **(volume)** Propagation pour $n < n_c$

➤ Absorption résonnante possible par les électrons $v_{th//} \approx \omega / k$ de l'onde (v_{\perp}), mais peu probable pour 2.45 GHz et $n \sim 10^{12} - 10^{13} \text{ cm}^{-3}$

□ Onde ELECTROMAGNETIQUE ($E_{\perp} // k$) – **(surface)** Propagation pour $n > n_c$

➤ Absorption lors de la traversée de la zone de résonance si $\tau \sim 2\pi/\omega$.

Renforcement du champ de l'onde de surface (pics de champ E résultant de l'inhomogénéité du plasma) dans une zone $\Delta \ll \delta$ près de surfaces où $\omega \approx \omega_p$.

➤ Absorption résonnante d'énergie de l'onde EP après conversion EM \rightarrow EP ($\nabla p \neq 0$)

❑ Structures à onde de surface (absorption sur $L > \lambda$)

❑ Excitation par le haut

- Guides d'onde avec ouvertures (fentes ou antennes) distribuées sur une longueur ou une surface

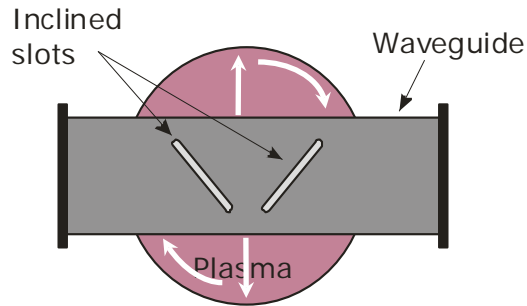
❑ Excitation latérale

- Surfaguide ou Surfatron
- SLAN (excitation par fentes dans un guide)

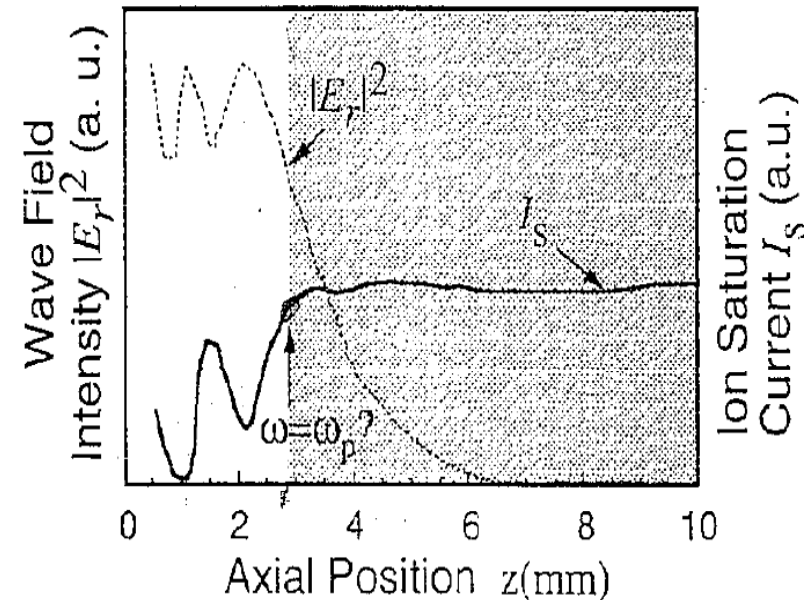
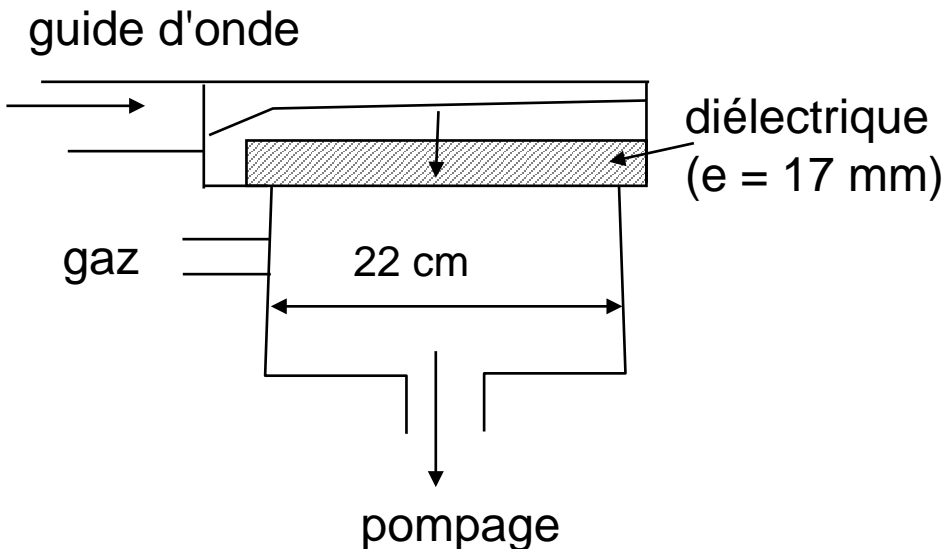
❑ Structures à absorption d'onde localisée (absorption sur $L > \lambda$)

❑ Excitation par antennes individuelles (applicateurs micro-onde)

Onde de surface planeaire - champ rayonné par fentes



$f = 2,45 \text{ GHz}$, $p = 3 \text{ mtorr} - 1 \text{ torr (Ar, CF}_4)$, $P = 0,2-1,5 \text{ kW}$
 $n = 10^{12} \text{ cm}^{-3} (@z = 16 \text{ mm}) \delta \sim 3 \text{ mm}$



H. Sugai et al. PSST 7 (1998)

Accord entre la distribution axiale du champ radial et le profil du courant ionique prouve la production des ondes plasma dans la gaine.

Onde de surface planeaire - champ rayonné par fentes suivant un anneau

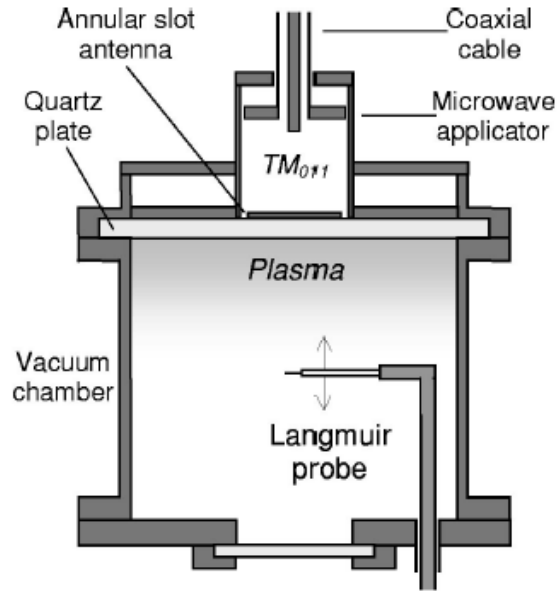


FIG. 1. Schemna view of the experimental apparatus.

** Terebessy et al. Appl. Phys 77 (18) 2000

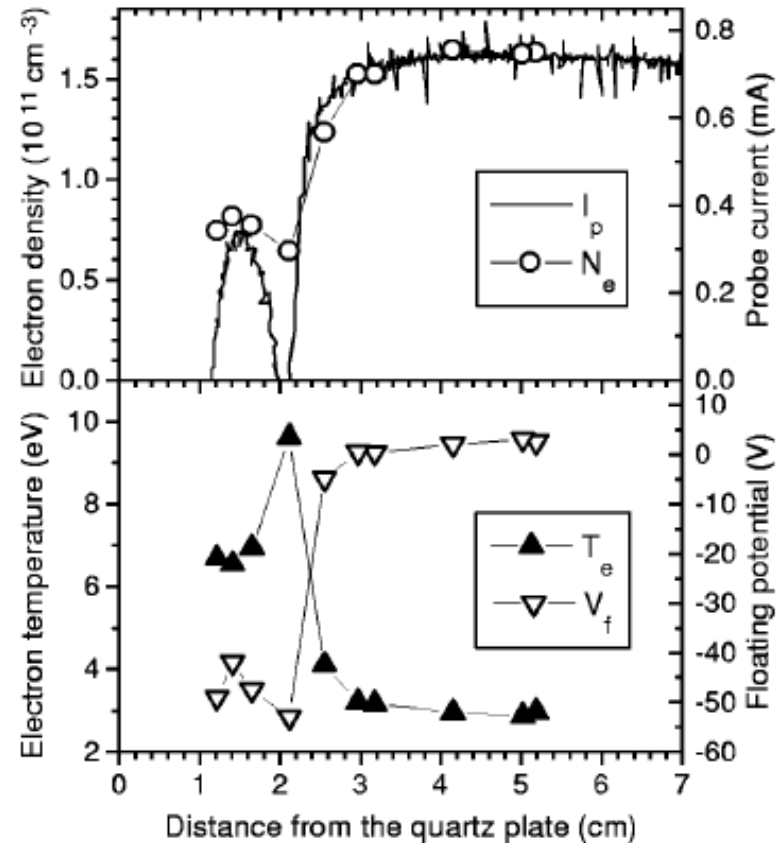
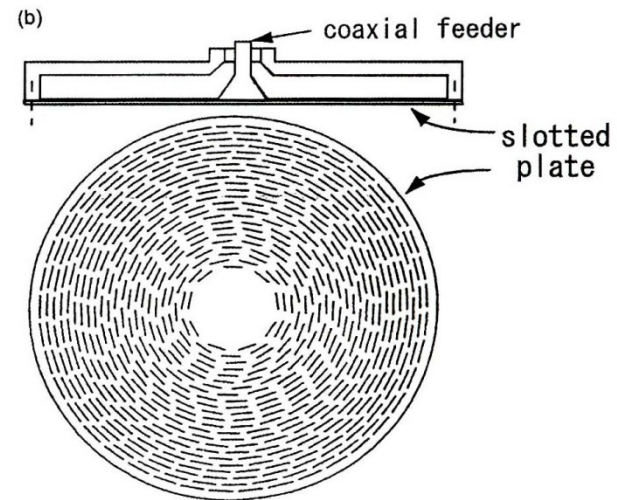
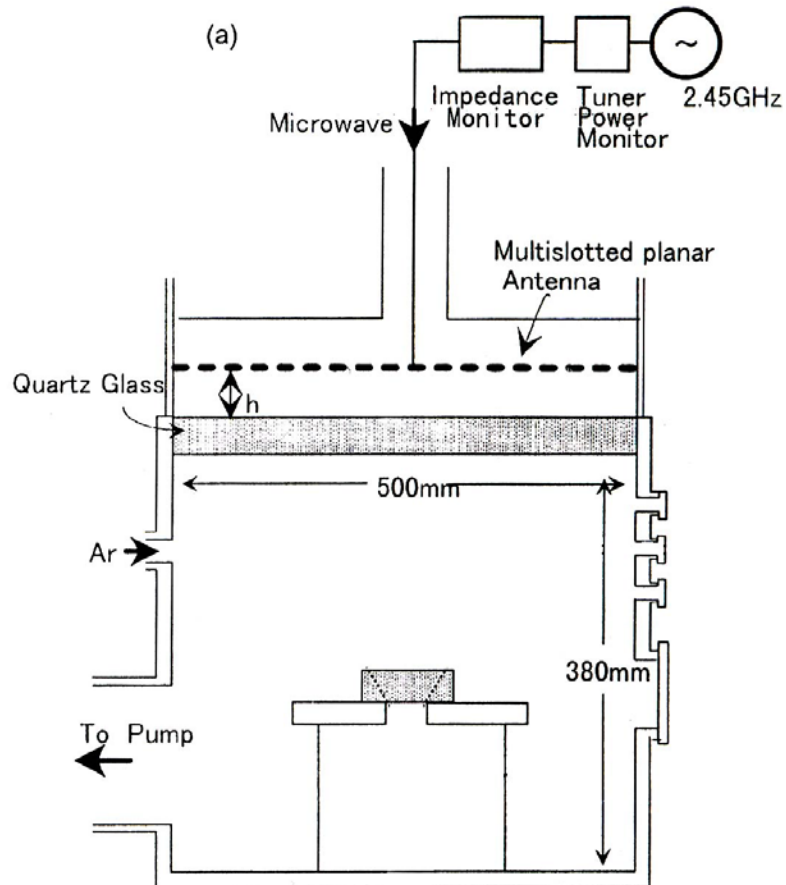


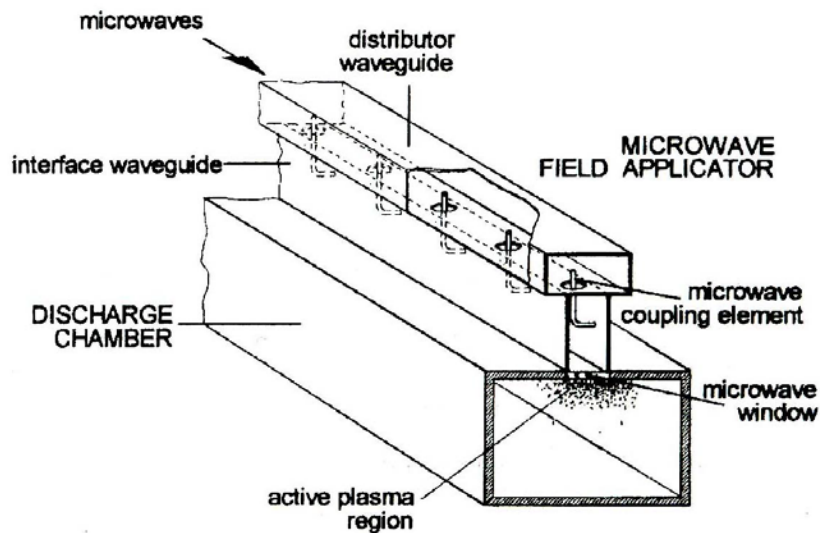
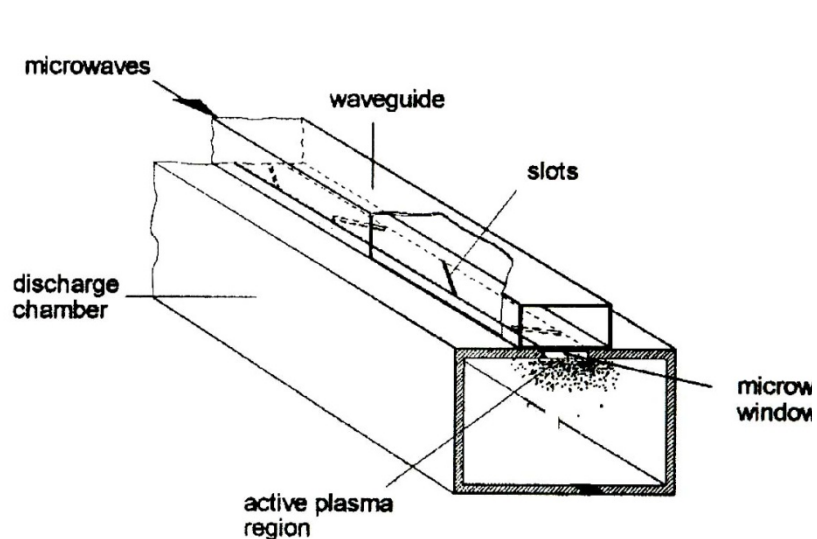
FIG. 6. Axial plasma parameter and probe current ($V_p = -50$ V) profiles measured on the chamber axis in argon discharge at 2.5 mTorr and 1380 W.

Chauffage local lors du passage des électrons dans la zone de résonance.

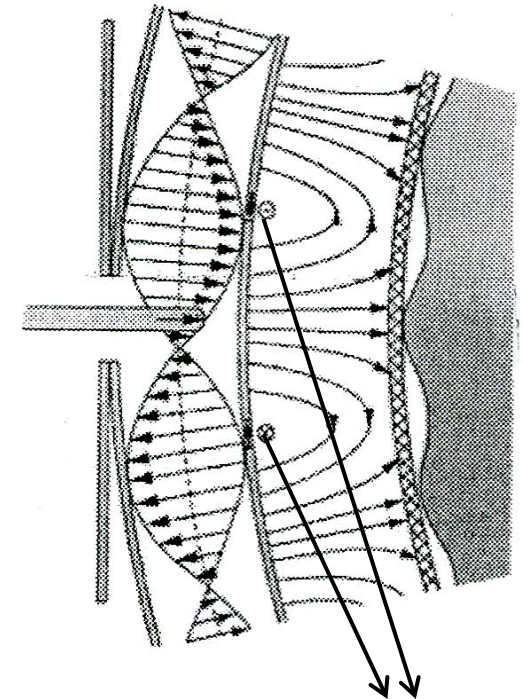
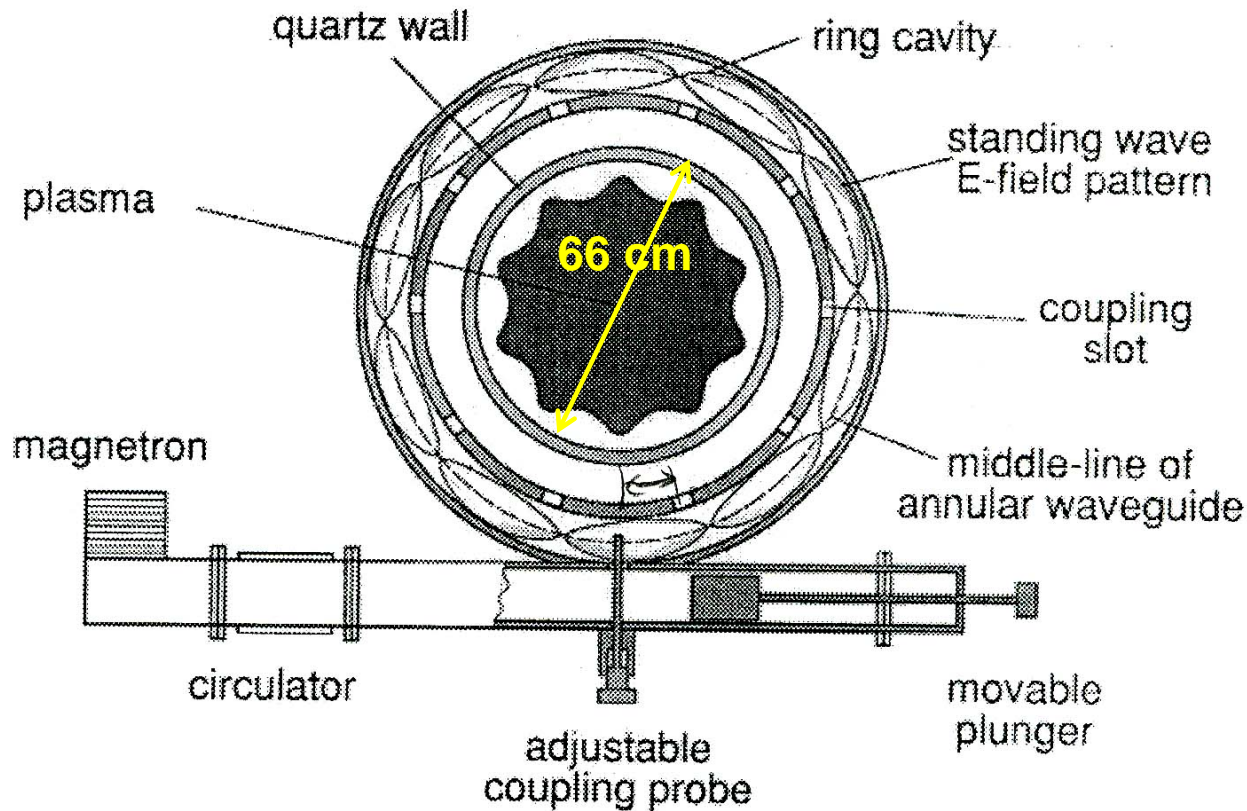
Onde de surface planaire - champ rayonné par fentes distribuées sur grande surface



Onde de surface planeaire - champ rayonné par fentes ou antennes

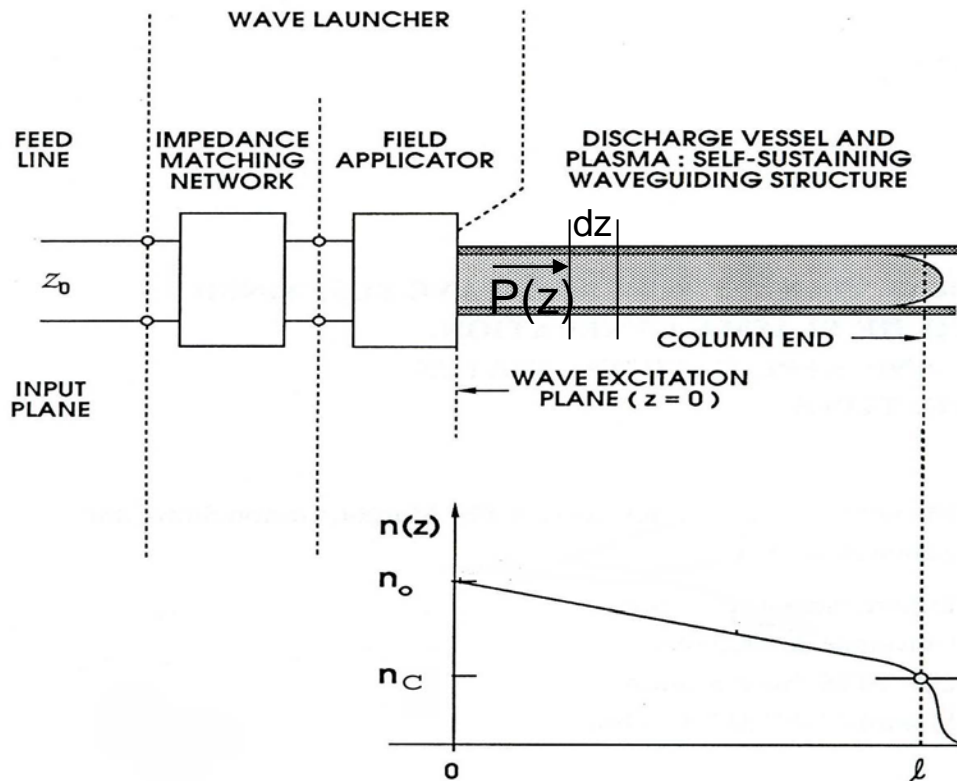


Excitation latérale (SLAN - SLOt ANtenna) - plasma grand volume
($p < 800$ mTorr)

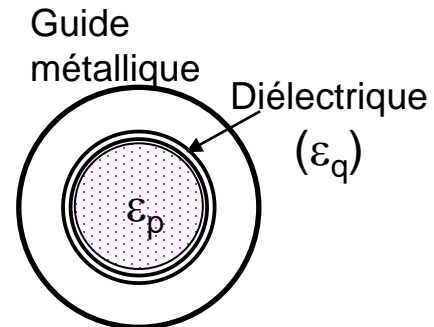
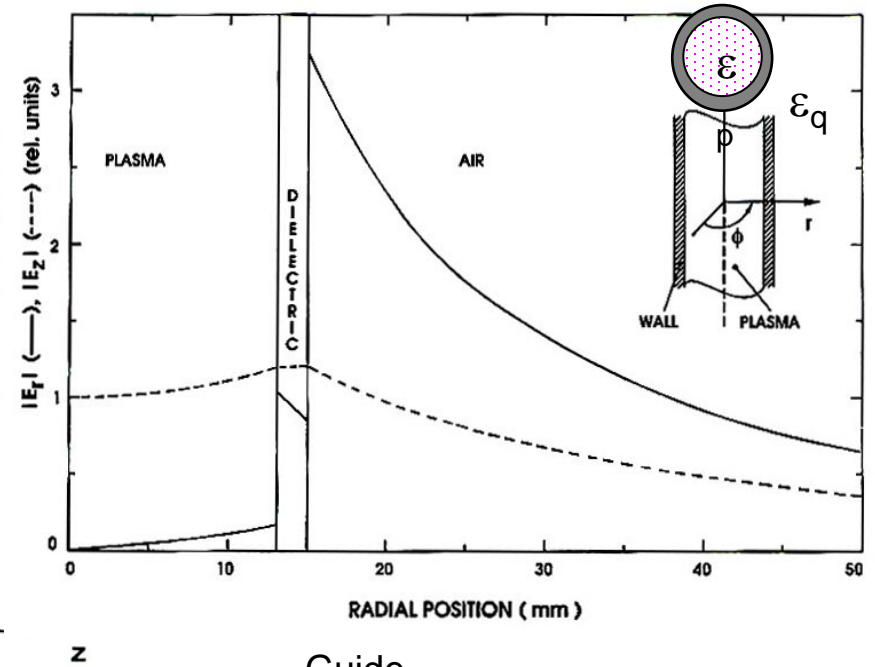


Fentes @ $\lambda_g/4$ dans en guide en anneau

Slot-antenna SW excited cylindrical plasma source
(F. Werner & al. Plasma Sources Sci. Technol. 3, 1994, 743)



Mode plasma TM_{00}
 $n = 5^{1/2} n_c$, $f = 600$ MHz

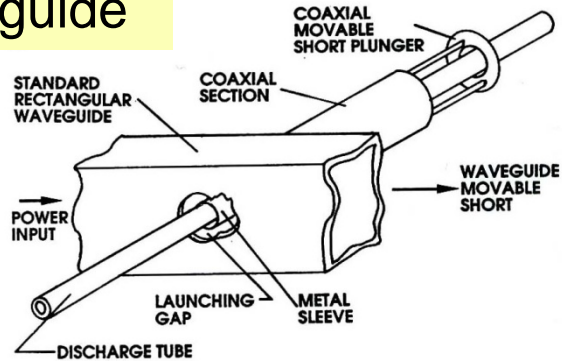


$\phi_{\text{quartz}} = 12$ cm, 0.1-5 Torr, 2 kW,
 10^{11} - 10^{12} cm⁻³

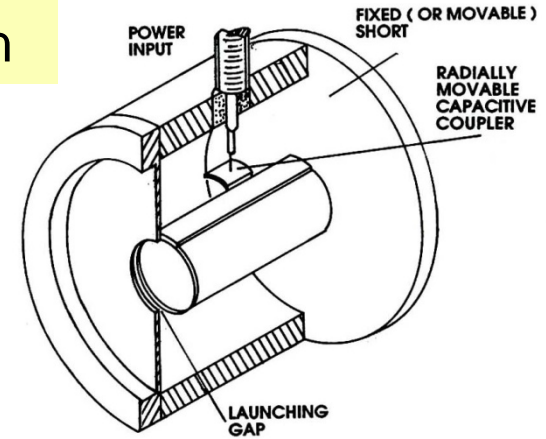
- ❑ Structures les plus répandues
- ❑ Plasma le plus modélisé (si 1 mode excité)
- ❑ Plus appropriées aux procédés en volume (colonne de plasma = volume important)

Configurations de l'excitateur

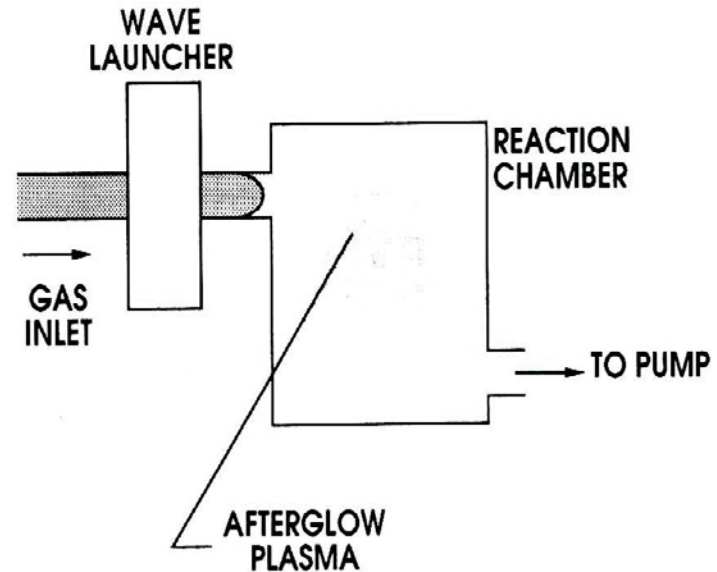
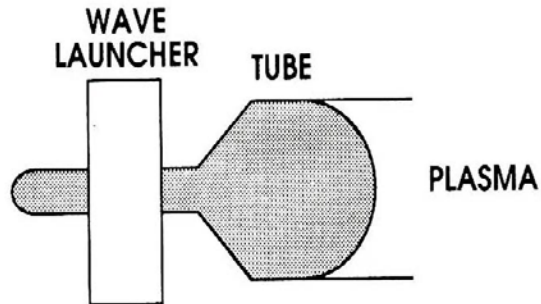
surfaguide

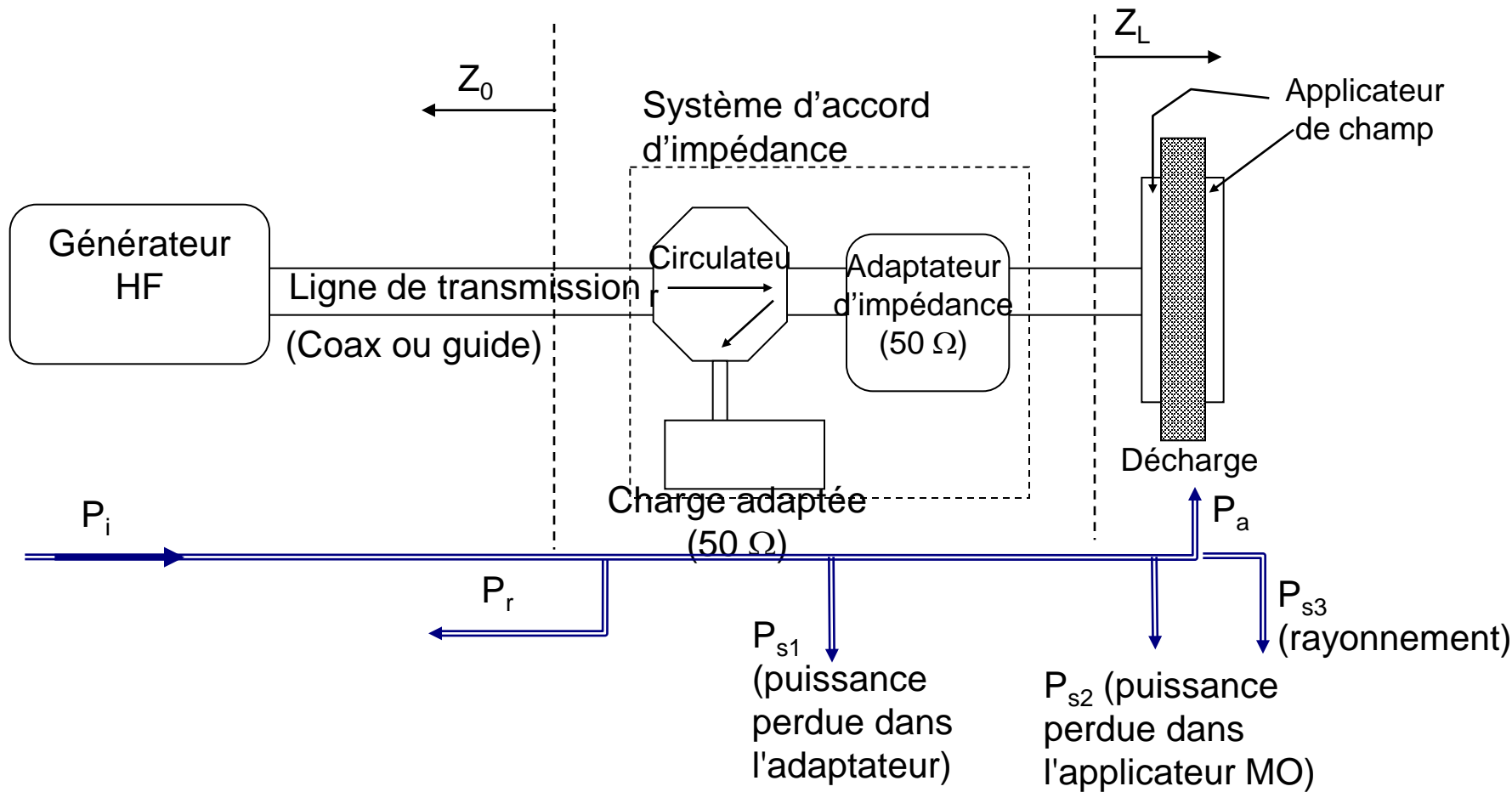


surfatron



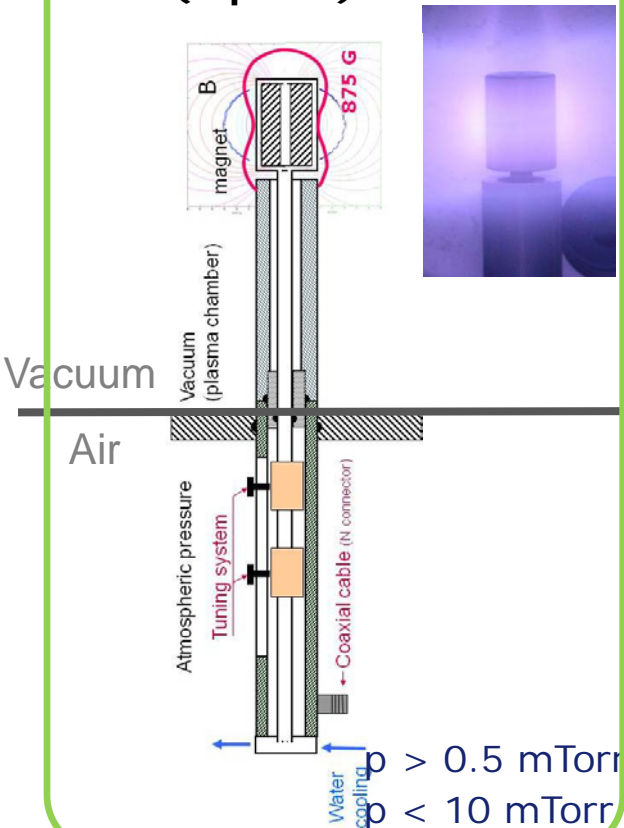
Configurations pour traitement de surface



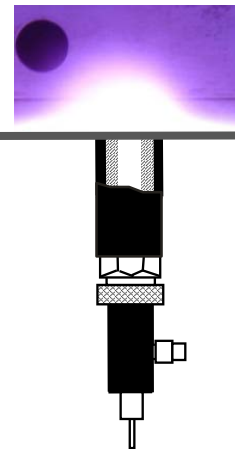


Sources plasma micro-onde à absorption localisée de puissance (absorption sur longueurs $L < \lambda$) Configurations d'applicateurs (MWA)

Magnet-ended (dipolar)



Free-ended



$p > 100 \text{ mTorr}$
 $p < \text{few Torr}$



Nouvelle
conception

Extension des
conditions
opératoires

Efficacité
énergétique
améliorée

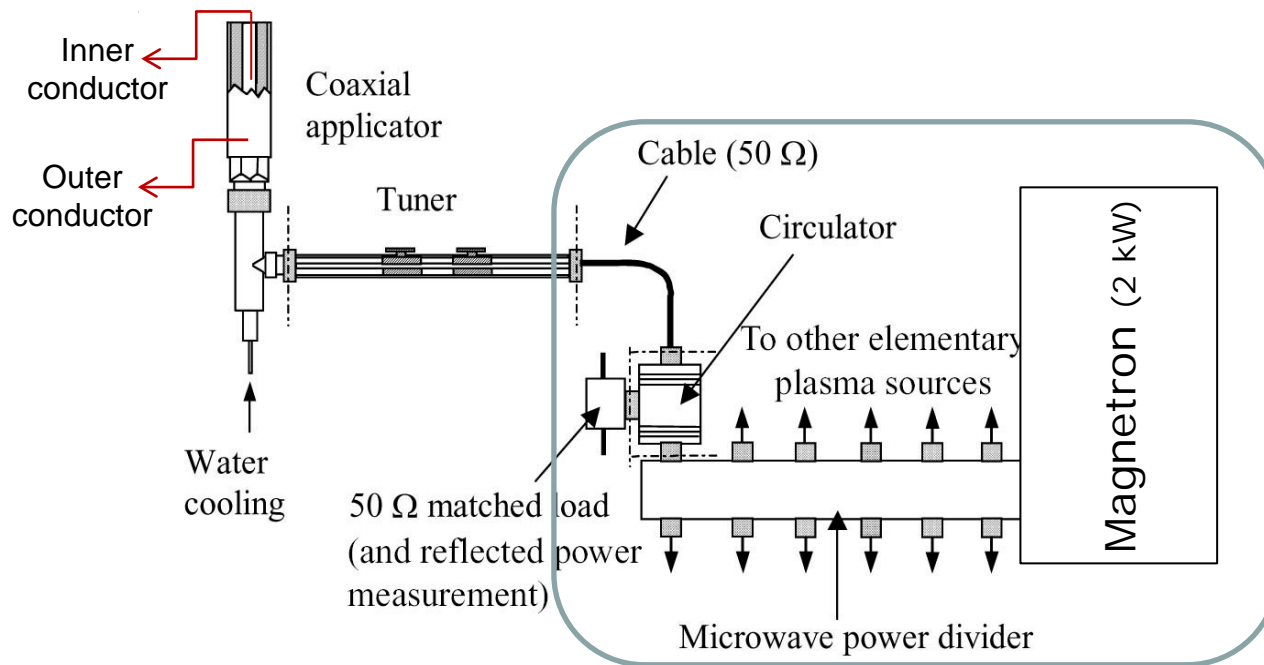
Magnet-ended (head-to-head) & Free-ended



$p > 0.1 \text{ mTorr}$
jusqu'à 65 Torr

- ❑ Chaque applicateur est alimenté individuellement via un guide diviseur de puissance
- ❑ Chaque type d'applicateur est constitué d'une structure coaxiale

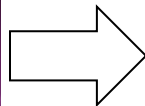
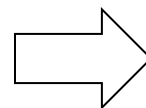
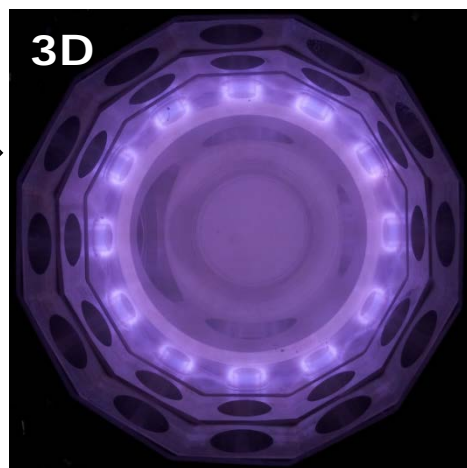
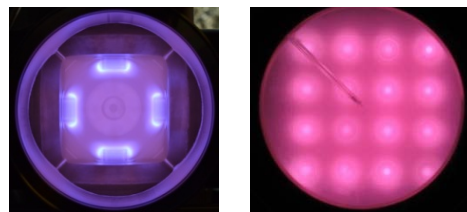
Different end-configurations according to operating parameters (power, pressure)



Excitation par antennes découplées

Réacteurs plasma micro-onde

2D network distribution



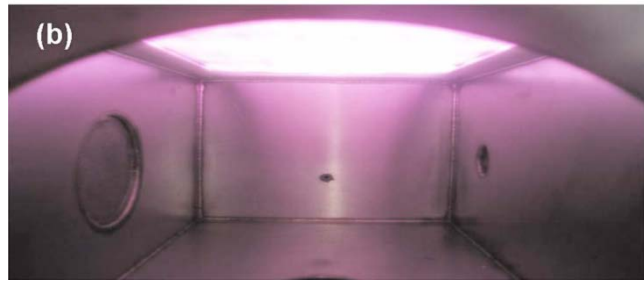
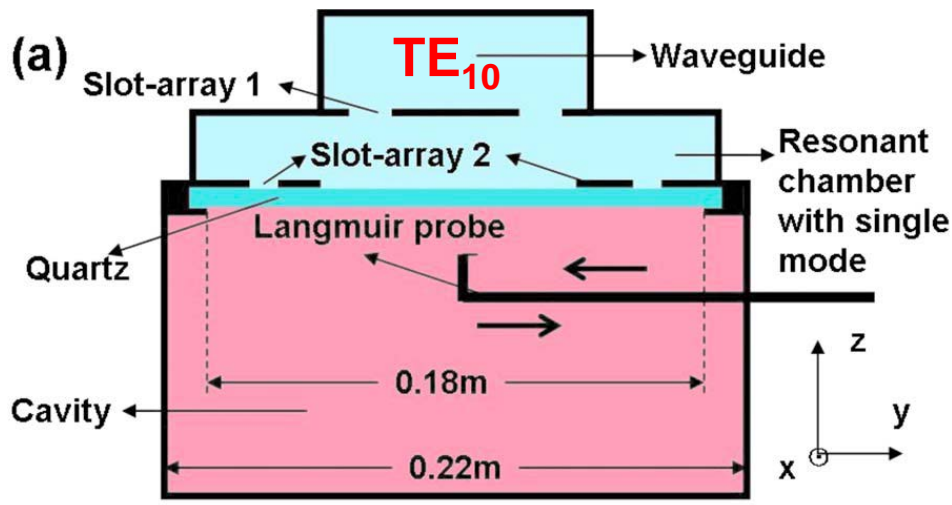
Elementary plasma source (design depending on the application)

Elementary plasma sources distributed over multi-dimensional networks (0D to 3D)

Plasma set-up implemented according to the intended application

- ❑ **Mode de propagation coupleur \neq Mode dans le plasma**
 - Composantes des champs différentes
 - Rupture d'impédance
- ❑ **Objectifs pour avoir un « fort couplage »**
 - ❑ Avoir au moins une composante du champ dans le coupleur (guide, coax) égale à celle dans le plasma
 - ❑ Dans le plan de couplage onde-plasma, l'impédance du coupleur égale à l'impédance du plasma
- ❑ **Fort couplage : Puissance incidente (générateur) = Puissance injectée dans le plasma (exceptée les pertes d'insertion)**
 - ❑ Diminuer le nombre d'éléments de la ligne de transmission
 - ❑ Eviter la formation d'ondes stationnaires dans les adaptateurs d'impédance
 - ❑ Puissance injectée dans le plasma = puissance ohmique

Couplage onde - plasma



Chen *et al.*, J. Appl. Phys. **106**, 013314 2009

Objectif

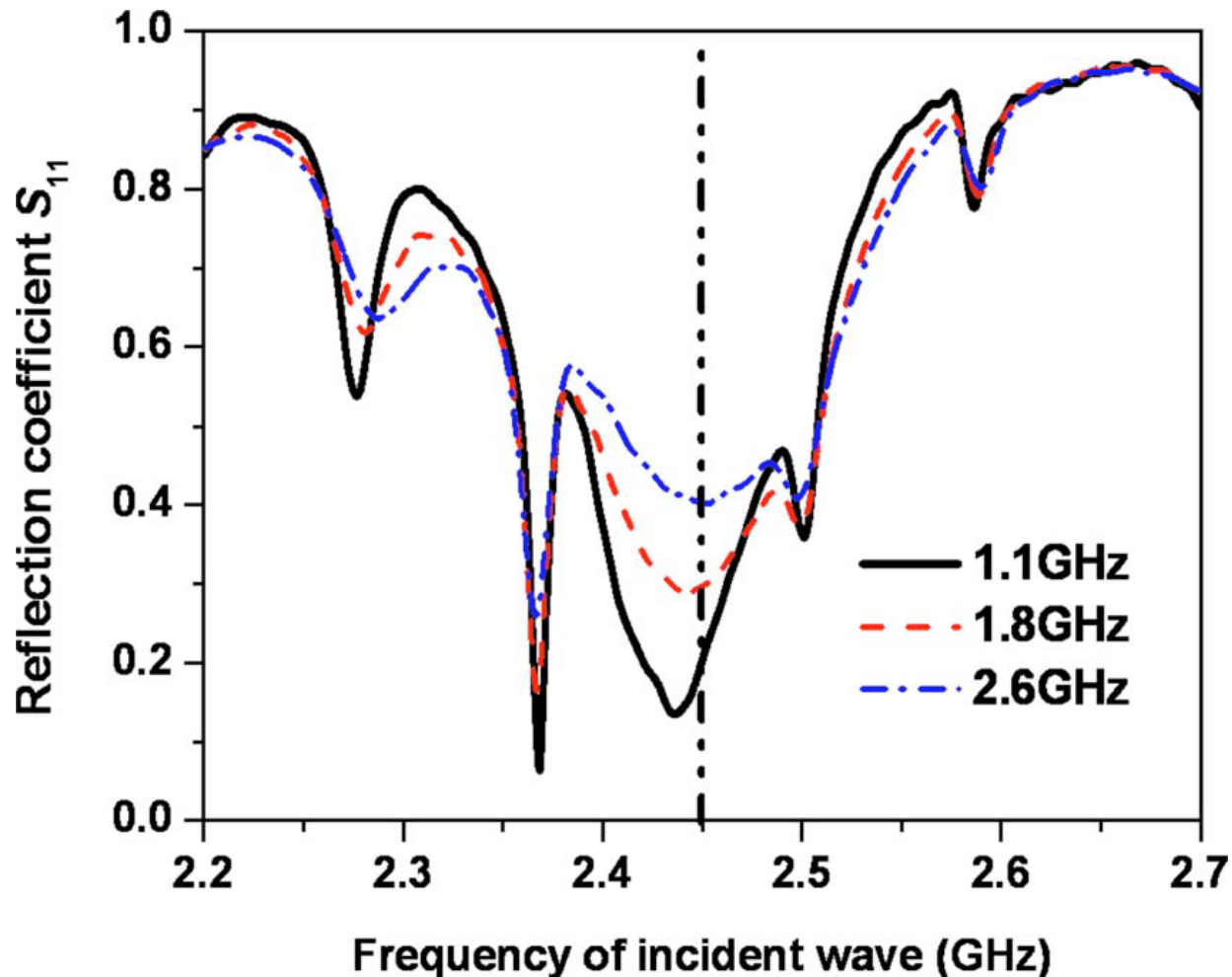
- Transformer le mode TE_{10} guide en un seul mode TM_{110}
- Obtenir le même champ E_z à l'interface chambre résonnante / diélectrique (adapter l'impédance)

Optimisation du coupleur

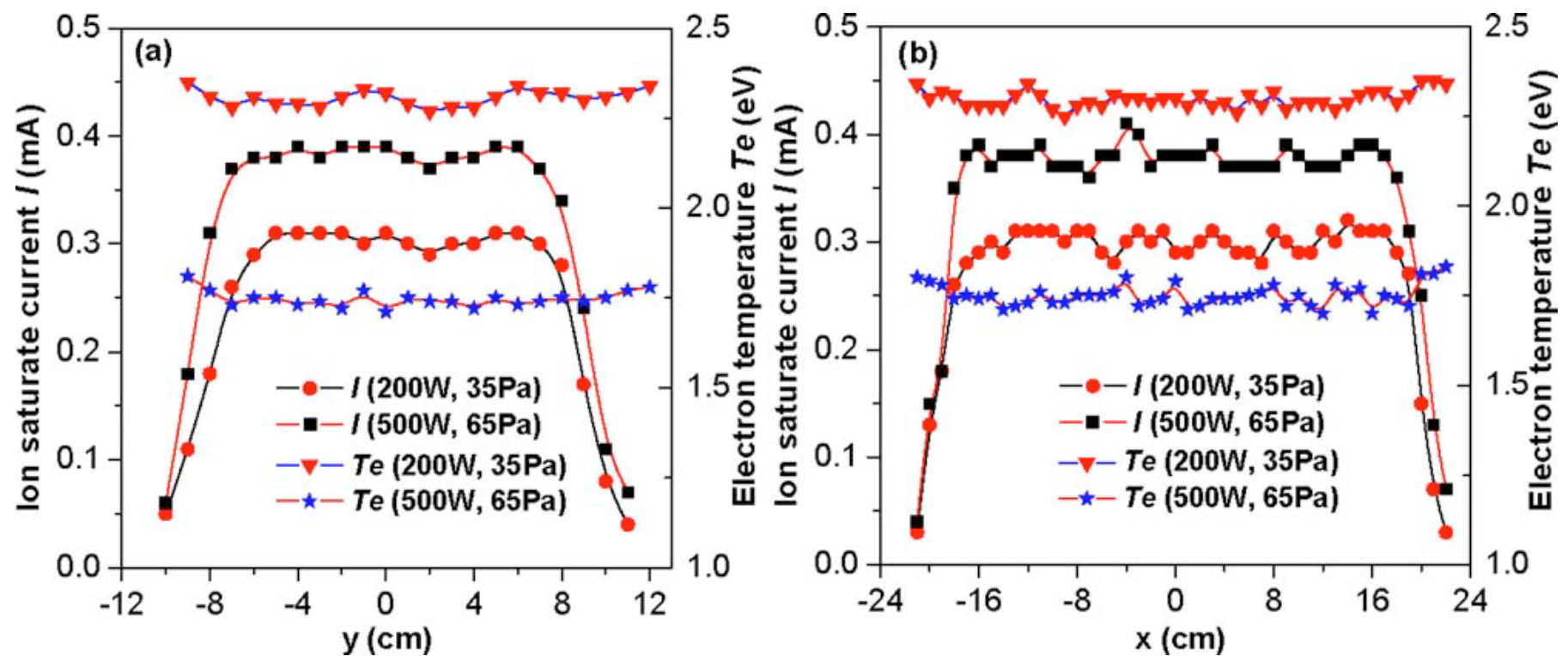
- Chambre (5 cavités résonnantes) entre le guide et la chambre plasma
- Réseau de diffraction entre la chambre et le diélectrique

Résultat

- Fort couplage entre ondes incidente - diffractée - onde de surface
- $p = 200 - 500$ mTorr



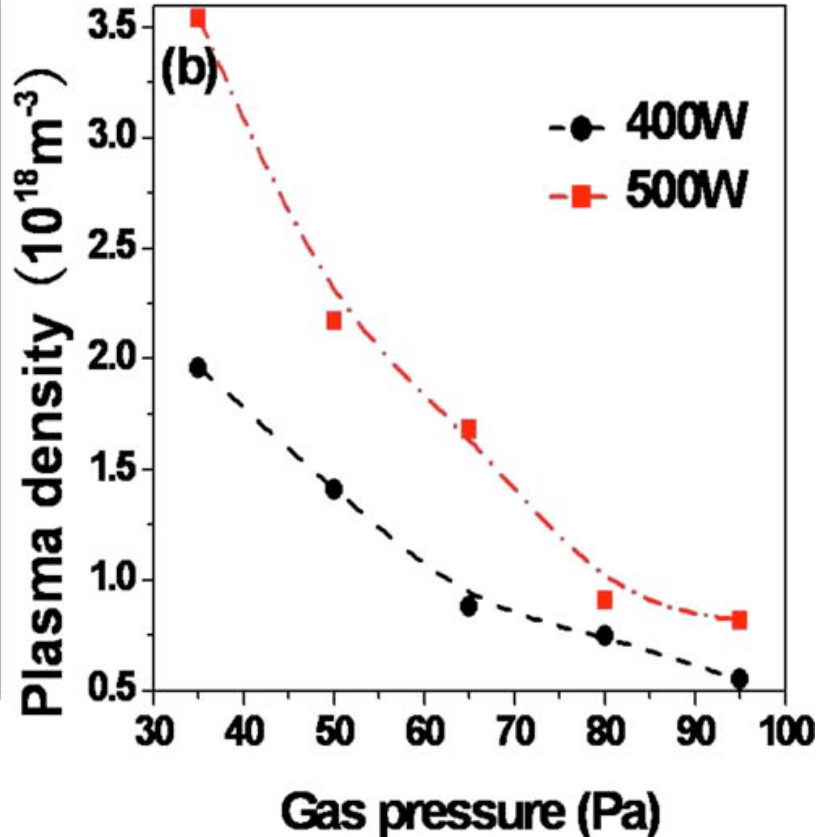
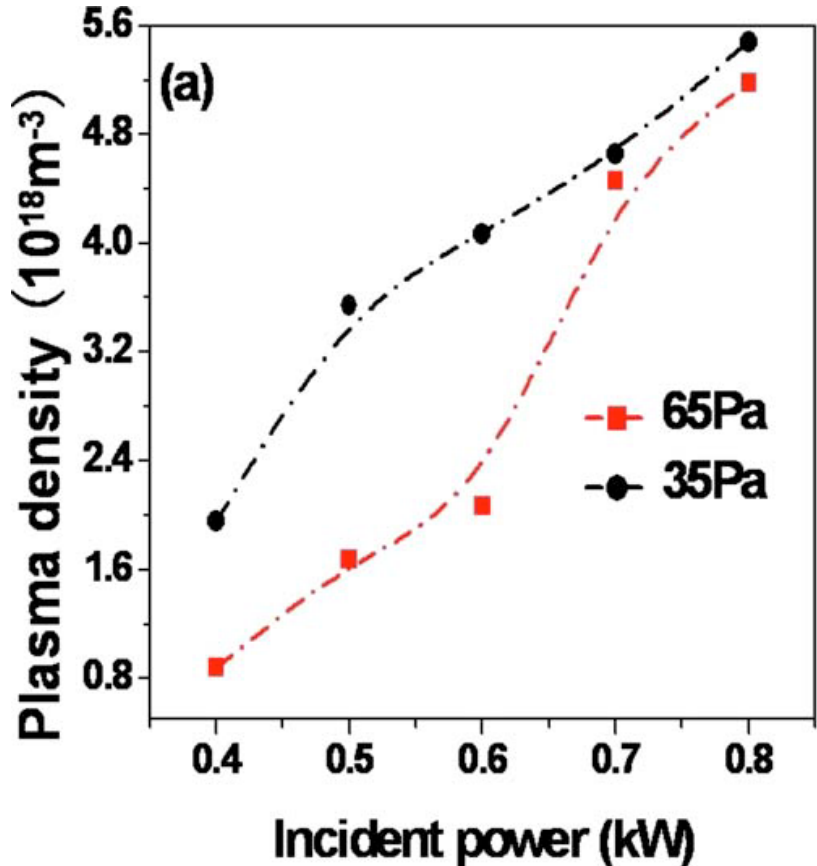
Amplitude of the reflection coefficient S_{11} , *varying* along with the frequency of incident waves in different collision frequency.



Distribution of ion saturate current and electron temperature at z -axis of 3.5 cm under the quartz plate: (a) along y -direction with fixed $x = -12$ cm and (b) along x -direction with fixed $y = 0$.

Chen *et al.*, J. Appl. Phys. **106**, 013314 2009

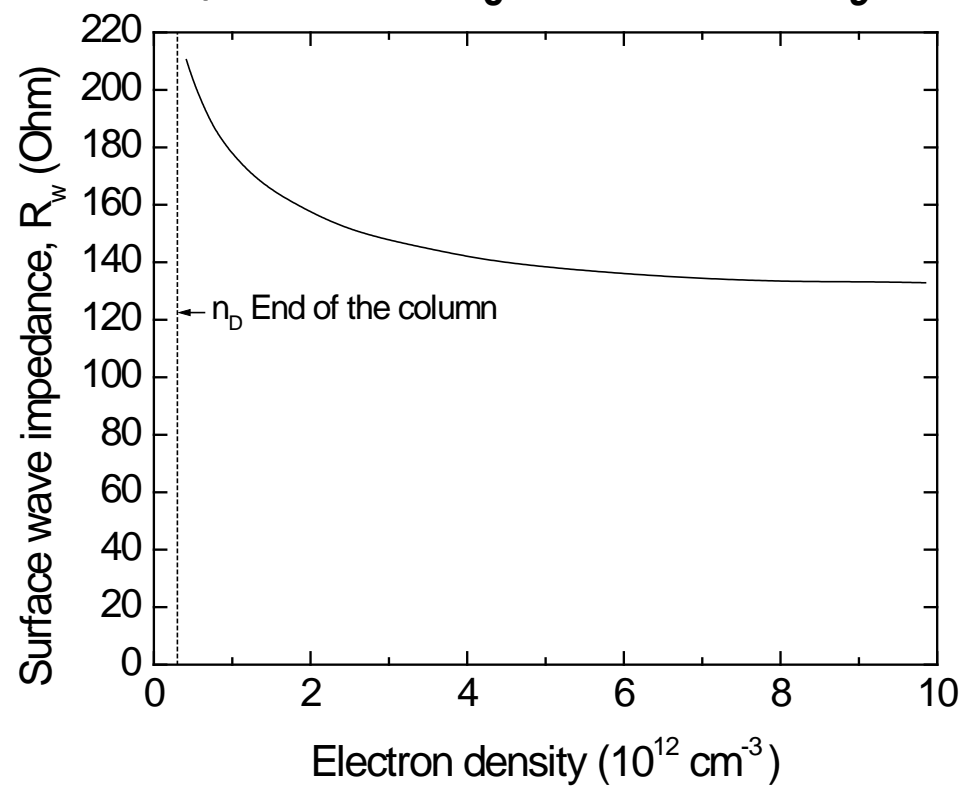
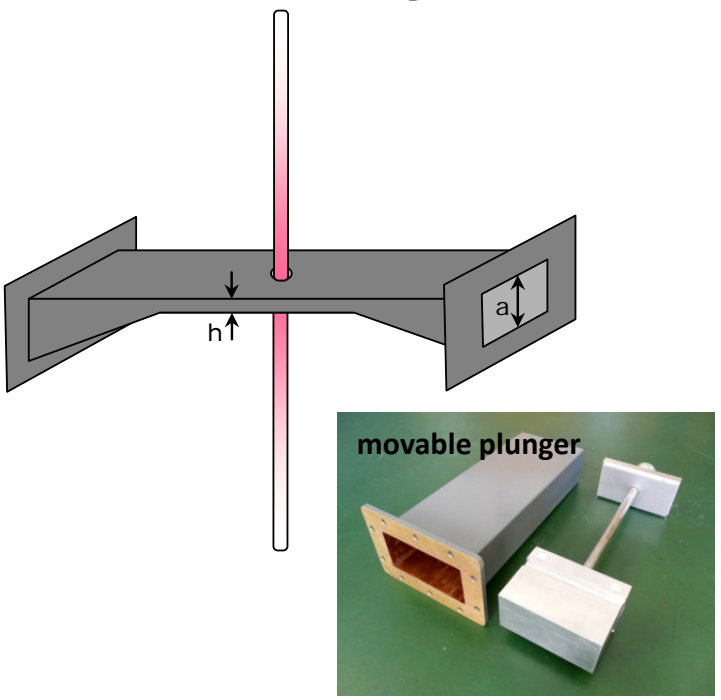
Couplage onde - plasma



Distribution of plasma density varying along with (a) the incident power and (b) the gas pressure, at a position of probe: $x = -12$ cm, $y = 0$, and z -axis of 3.5 cm under the quartz plate.

Couplage onde - plasma (impédance)

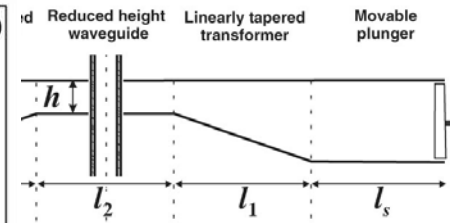
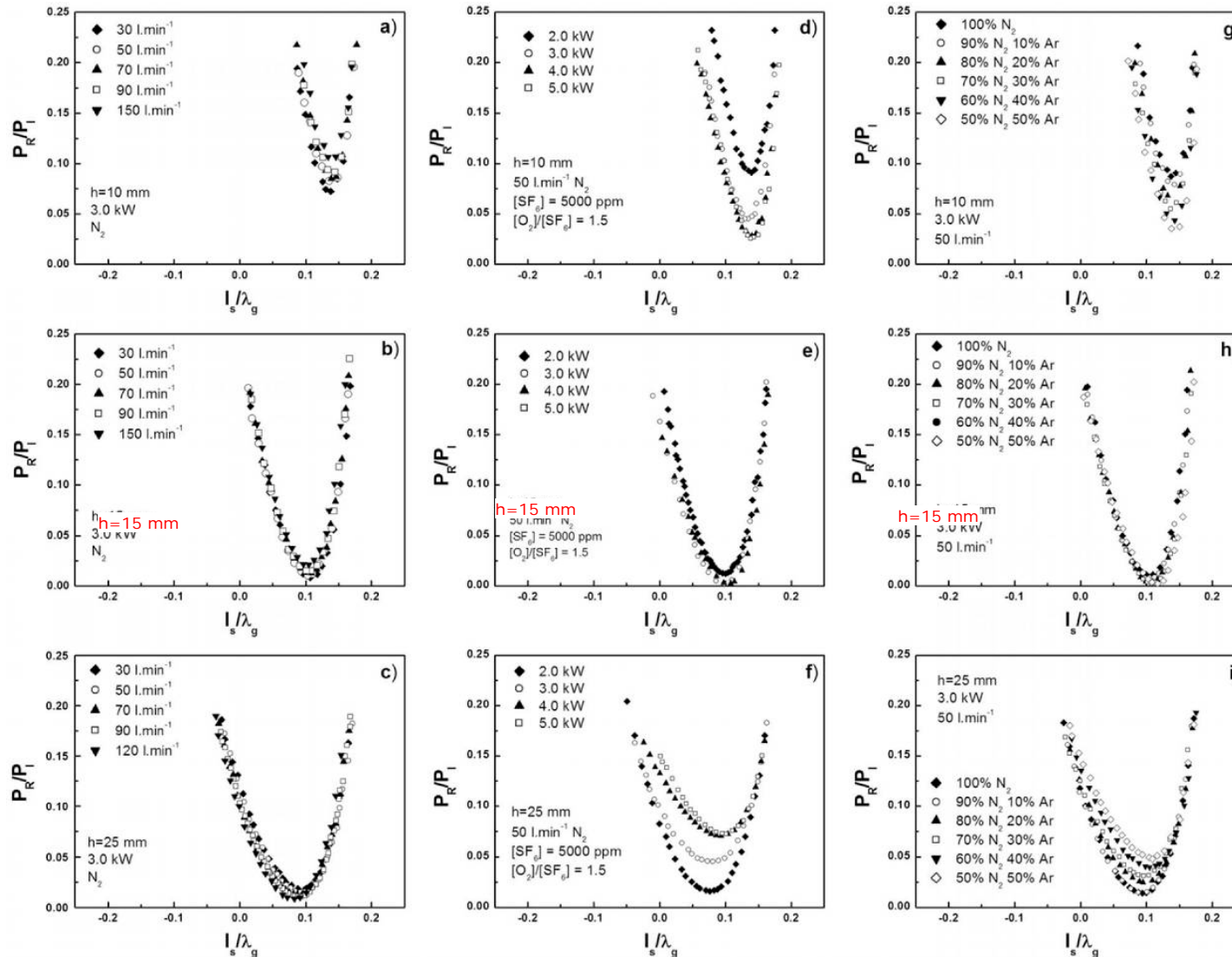
- Plasma column acts as a transmission line: calculated characteristic impedance value $Z_p \approx 140-160 \Omega$
- Reduced-height characteristic impedance: $Z_0 = 536 \Omega \rightarrow Z'_0 = 186 \Omega$



$n > n_{\text{critical}}$ (sustaining condition of the surface wave) \Rightarrow little sensitivity on Z_p at plasma density variation (only small adjustments required)

Couplage onde - plasma (impédance)

Little sensitivity on operating conditions: gas nature, pressure and flow rate, MW power density

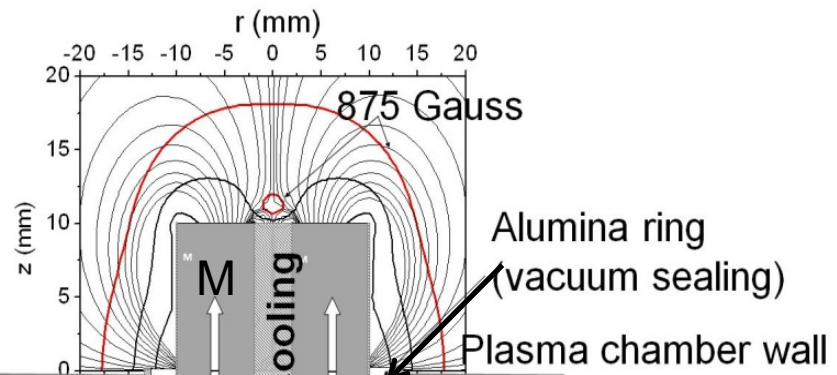
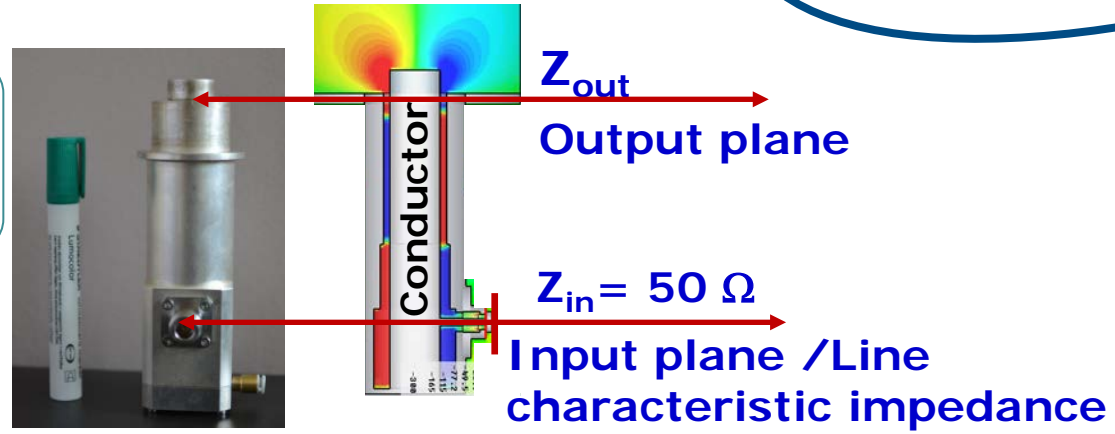


Smooth impedance tuning – movable plunger

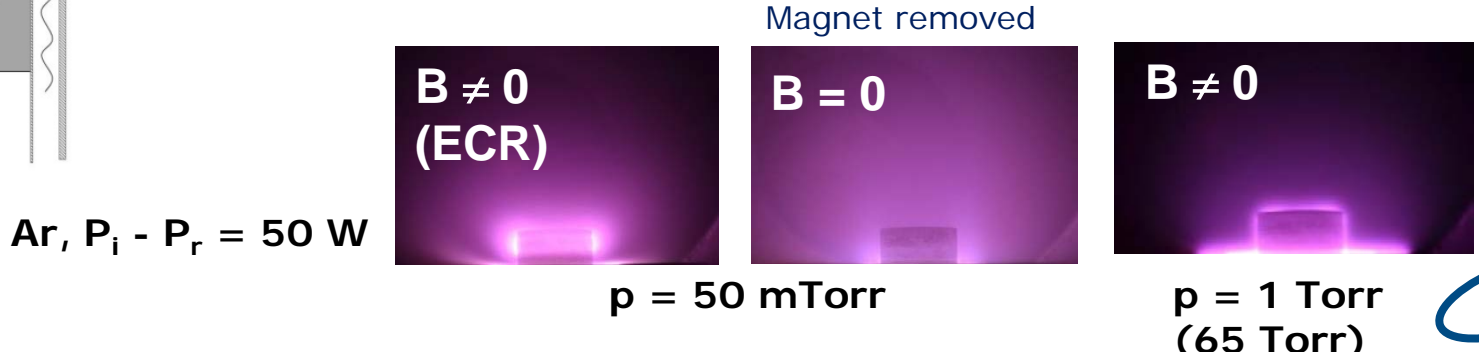
Maximum insensitivity to operating condition changes achieved with adequate impedance transformer ($h=15\text{mm}$)

Couplage onde - plasma (impédance)

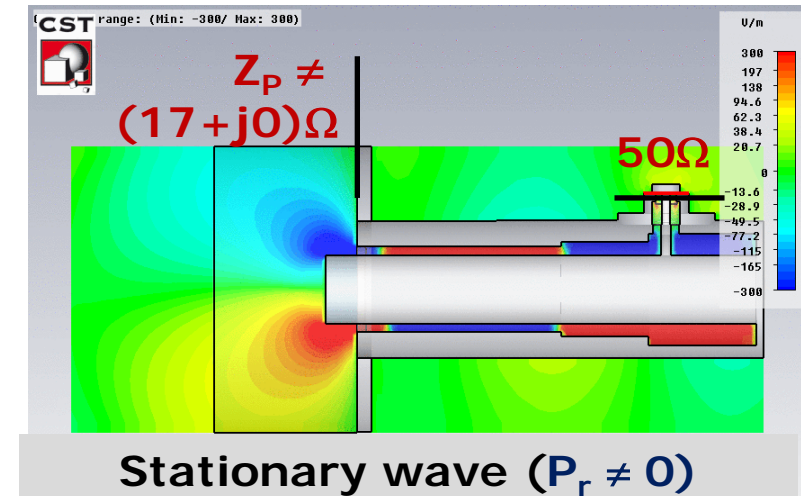
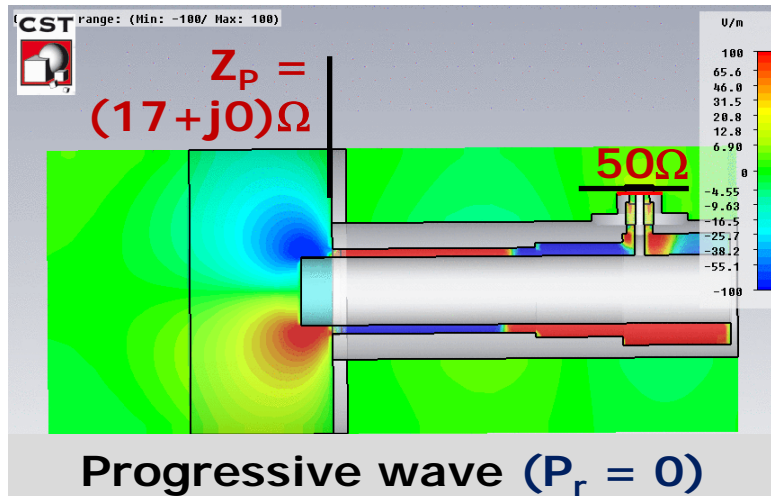
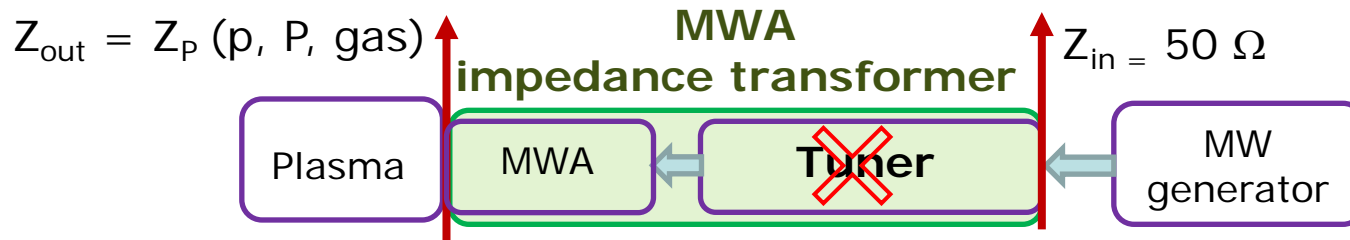
- Impedance transformer
 - Succession of several coaxial segments



- Able to cover a **wide pressure range**
 - Magnet inserted into the central axis (**ECR** and **confinement** conditions)
 - Alumina window located at the level of plasma chamber wall (avoid plasma cavities)



Couplage onde - plasma (impédance)



- ❑ MWA designed to be adapted for $Z_{out} = (17 + j0) \Omega$ in the out plane \Rightarrow Progressive wave \Rightarrow **Maximum in power transfer (no reflection, no more need of the tuner)**
- ❑ $Z_p(p, P, \text{gas}, \text{geometry})$ plasma impedance measurements are mandatory
- ❑ The knowledge of the plasma impedance allows **re-designing new applicators over operating conditions range** (p, P, gas)

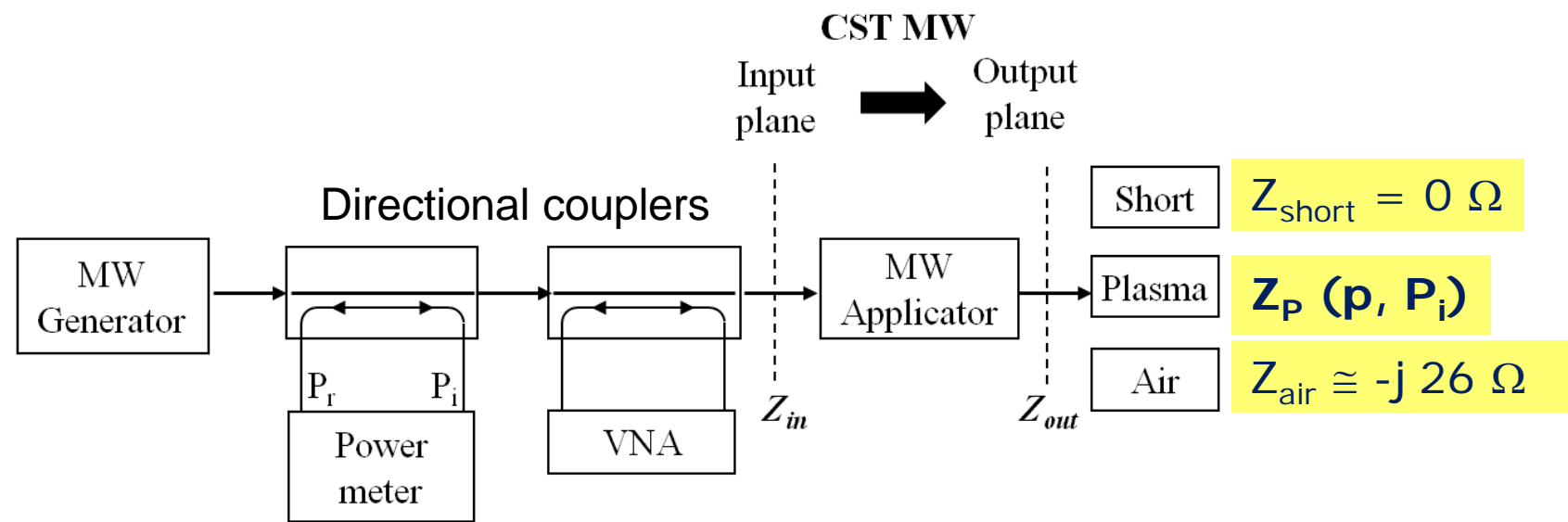
Couplage onde - plasma (impédance)

Plasma impedance Z_p / Methodology

- Z_{in} : measurements by VNA (Vector Network Analyser)
- $Z_{out} := f(Z_{in}, Z_{pq}), Z_{pq}$ impedance matrix (intrinsic) elements by CST-software
- Validation simulation / experiment ($Z_{out} = Z_{short}$ and Z_{air})

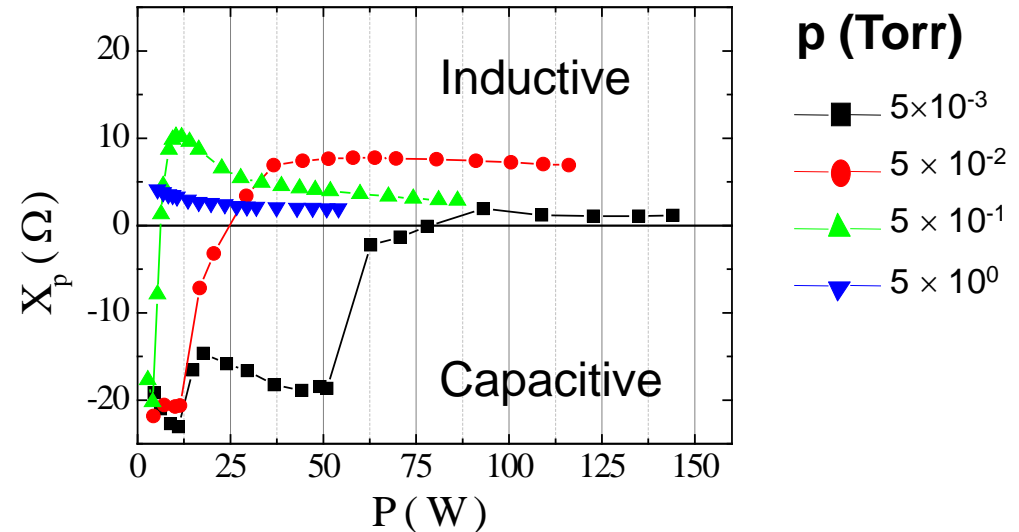
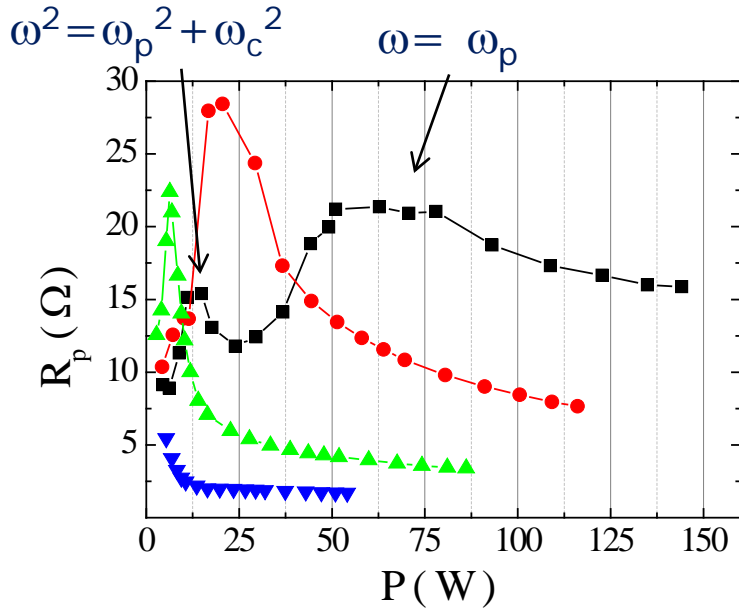
Coupling (transmission) efficiency $\eta = (P_i - P_r) / P_i$

Heating (ohmic absorption) efficiency $\eta_a = P_a / (P_i - P_r) = f(Z_{out})$



Domains explored

- $f = 2.45$ GHz, Argon, $p = 0.3$ to 5000 mTorr, $P_i =$ few to 200 W



Real (R_p) and imaginary (X_p) of plasma Z_p as a function of transmitted power ($P = P_i - P_r$)

□ **Reactive part** of plasma impedance

- Capacitive \rightarrow Inductive Transitions (shift to $P \searrow$ when $p \nearrow$)
- $P \searrow \searrow$: Capacitive behavior governed by vacuum impedance $Z_{\text{plasma}} \approx Z_{\text{air}} = (0 - j 26) \Omega$

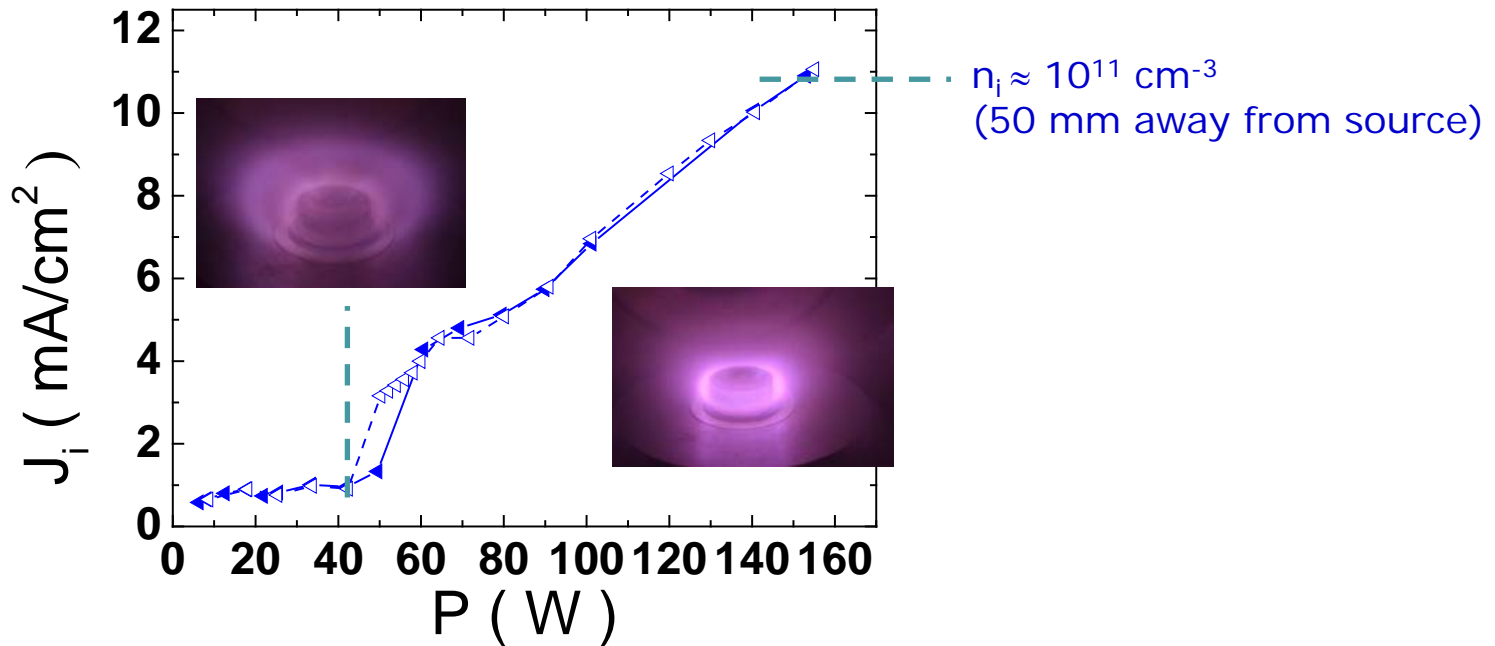
□ **Real part** of plasma impedance

- R_p peaks correlated with X_p jumps
- Except peaks, normal behavior of $R_p = f(P, p)$

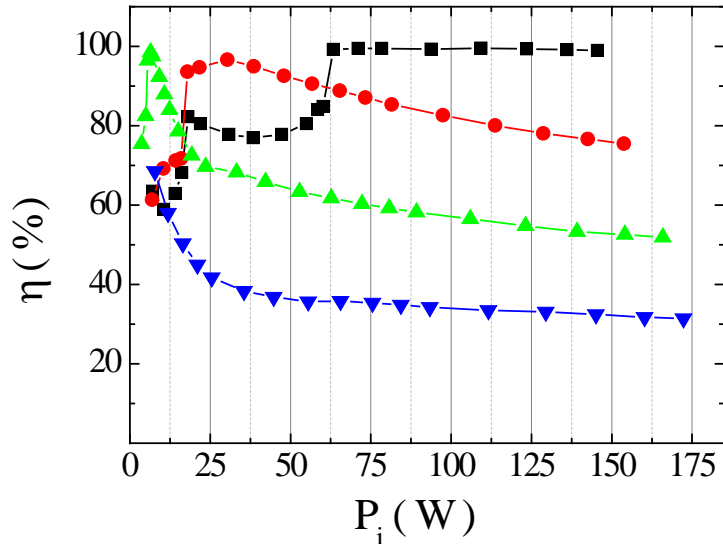
□ **Jumps related to the changes in the propagation conditions** ($\omega = \omega_p$, $\omega^2 = \omega_p^2 + \omega_c^2$)

EM mode \rightarrow EP mode (attenuated within few millimeters in Landau damping)

- Reactance jumps accompanied by
 - Jumps in ion current and plasma densities
 - Dimensional contraction of the plasma



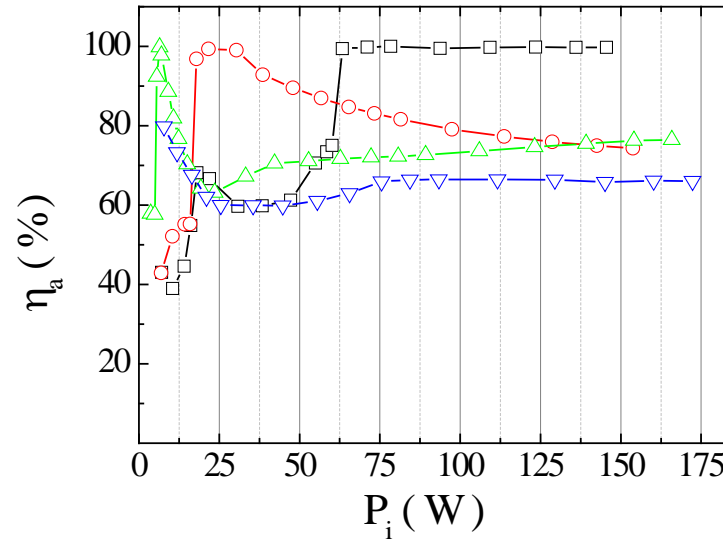
*Ion current density J_i (50 mm away from source)
as a function of transmitted power $P = P_i - P_r$*



Power transfer efficiency

$$\eta = (P_i - P_r) / P_i = P / P_i$$

⇒



Heating efficiency

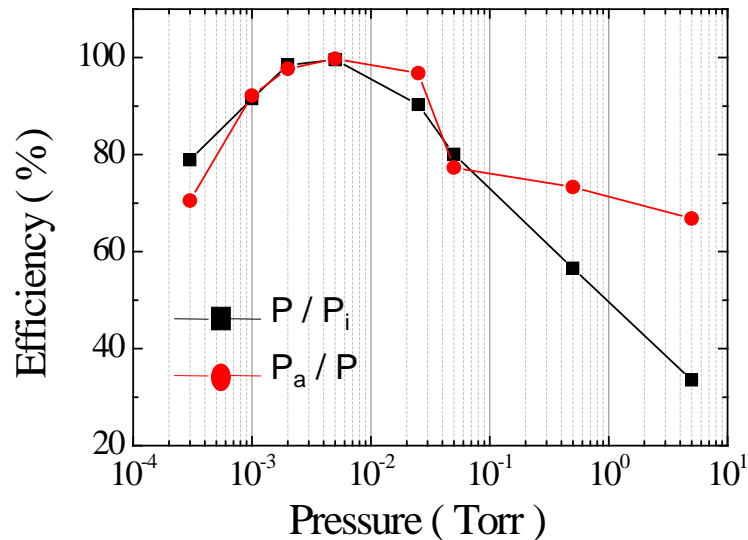
$$\eta_a = P_a / P = \frac{R_p}{\sqrt{R_p^2 + X_p^2}}$$

p (Torr)

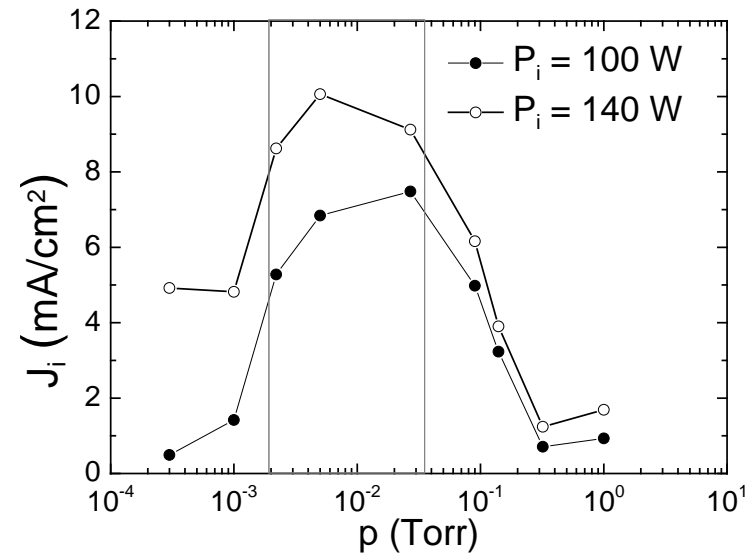
- 5×10^{-3}
- 5×10^{-2}
- ▲— 5×10^{-1}
- ▼— 5×10^0

- Transmission efficiency $P/P_i \approx 100\%$
 - Reached for several sets of pressure and power (p, P)
 - $15 \Omega < Z_p < 20 \Omega$ (MWA designed to be matched for $Z_{out} = 17 \Omega$)
- Heating efficiency $P_a/P \approx 100\%$
 - $Z_p \rightarrow R_p + j0$ (resistive plasma behavior)

- Power efficiencies greater than 90% - Plasma performance maximized for at least one order of magnitude of pressure (1-20 mTorr)



Transmission $\eta = P/P_i$ and heating $\eta_a = P_a/P$ efficiencies as a function of Ar pressure ($P_i = 100$ W)



Ion current density as a function of Ar pressure (@ 50 mm away from source)

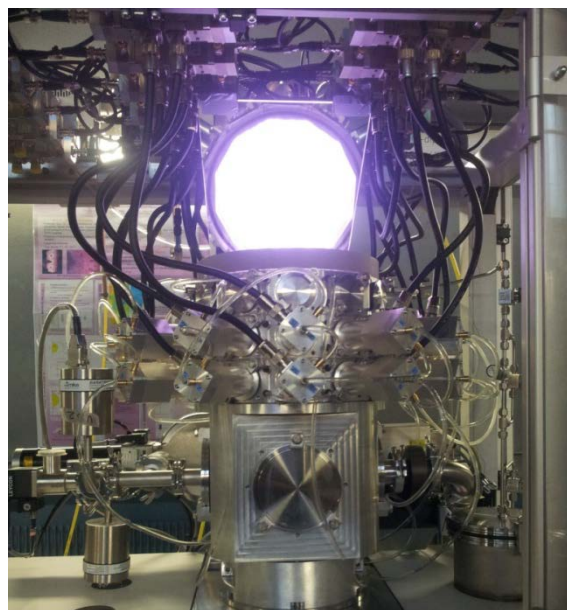
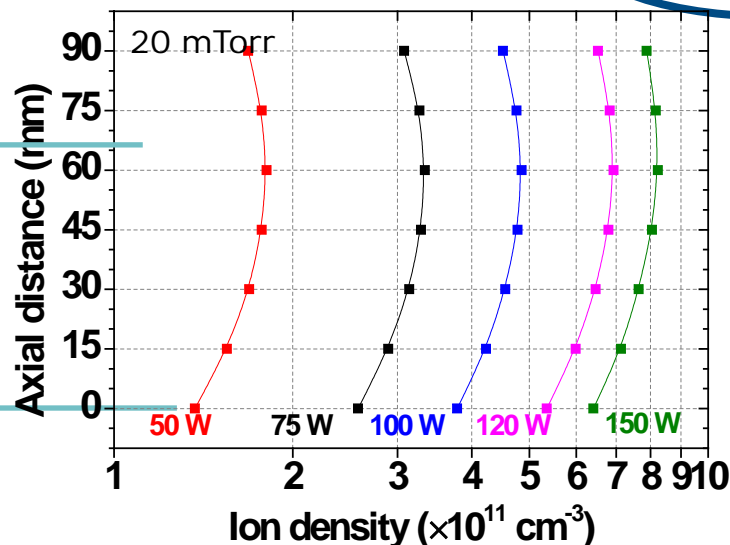
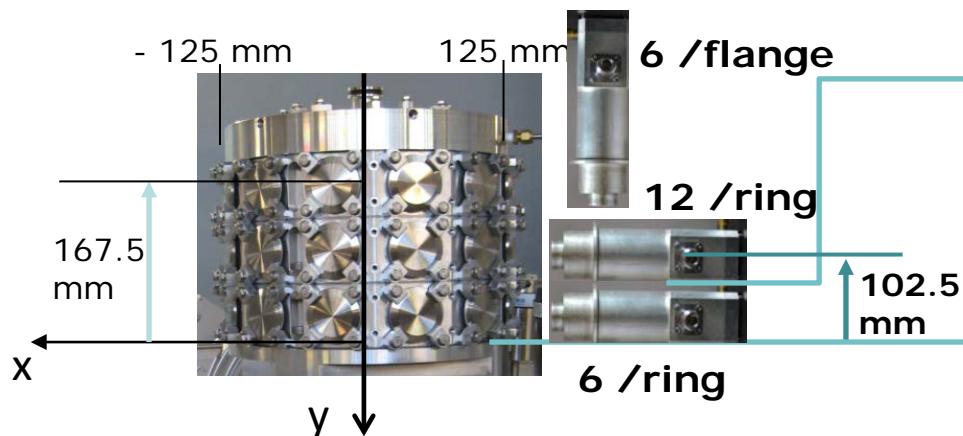
- Gravure
- Traitement de surface (nettoyage)
- Dépôt PECVD
- Dépôt par pulvérisation cathodique assistée par plasma micro-onde

- Production d'espèces actives (« remote plasma »)

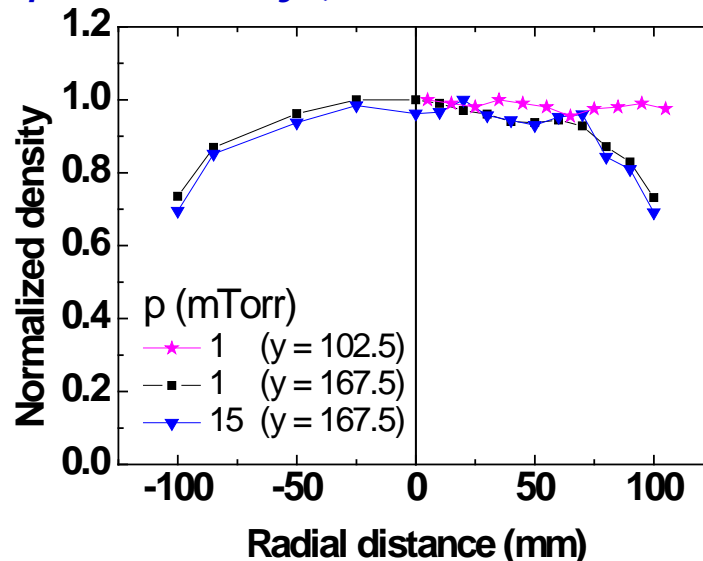
Microwave plasma / 3D configuration

High Density / Uniformity

Ar plasma characteristics



High plasma density ($\sim 10^{12} \text{ cm}^{-3}$, 150 W/source)

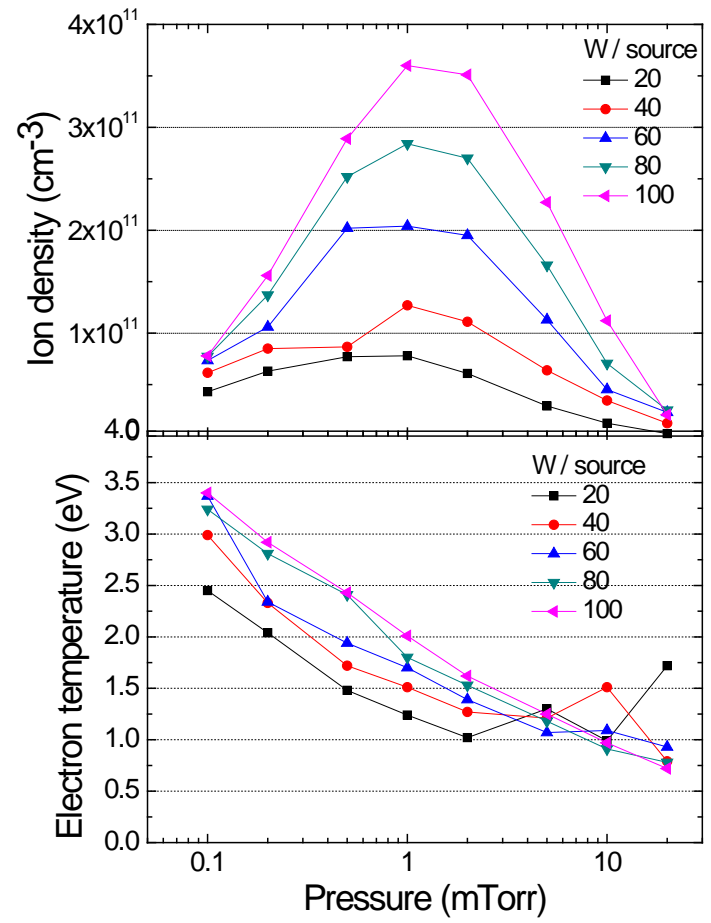
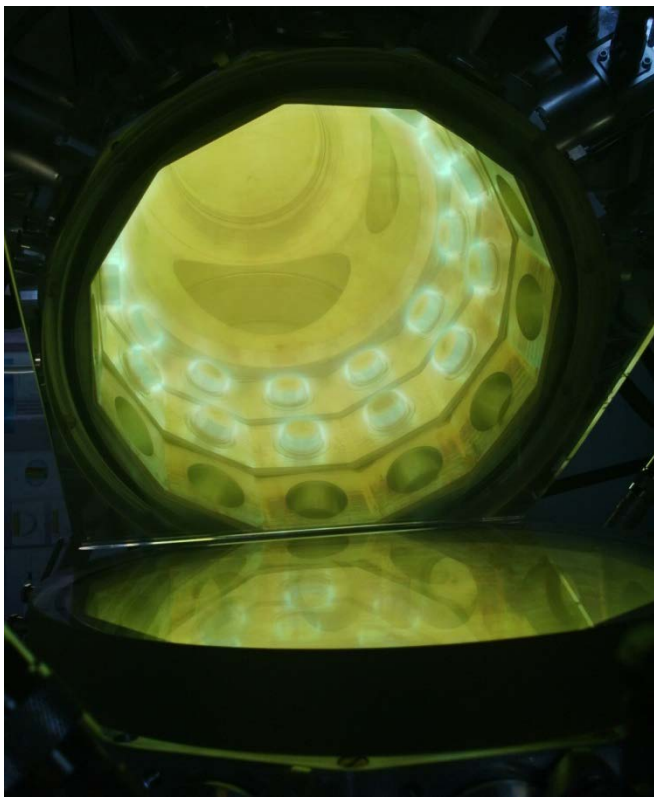


Uniformity over large size ($\varnothing = 200 \text{ mm}$)

Microwave plasma / 3D configuration

Application to plasma processes (etching)

□ Fundamental study of steric effects : Halide (F, Cl, **Br, I**) / 4st column (C, **Si, Ge, Sn**)



Iodine plasma (0.5 mTorr, 50 W/source)

Iodine plasma parameters

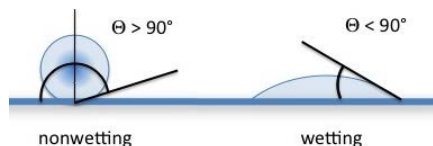
□ Gravure polymères (O, autre gaz)

□ Gravure diamant monocristallin (O+Ar)
11 μm / h

Microwave plasmas

Application to surface cleaning

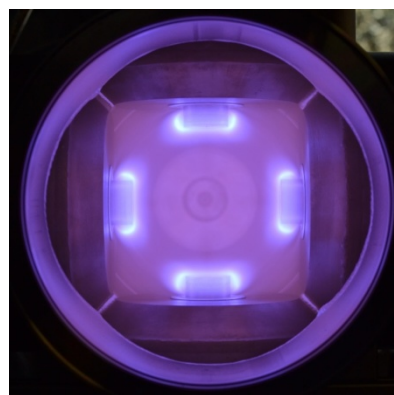
- Thin films deposition by Plasma PVD on running stainless steel wire
 - Deposition chamber (cylindrical AC magnetron)
 - **Cleaning chamber (4 elementary MW plasma sources)**



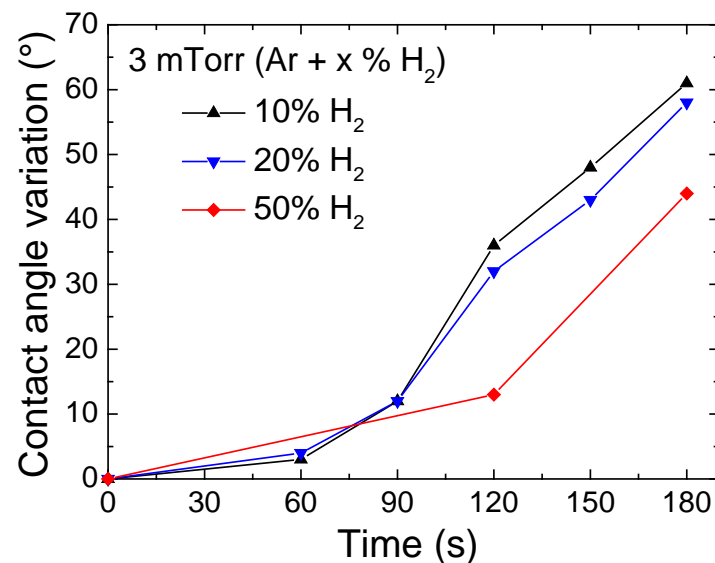
Deposition without cleaning



Deposition with cleaning



Plasma cleaning chamber
Ar, 20 mTorr, 200 W/source

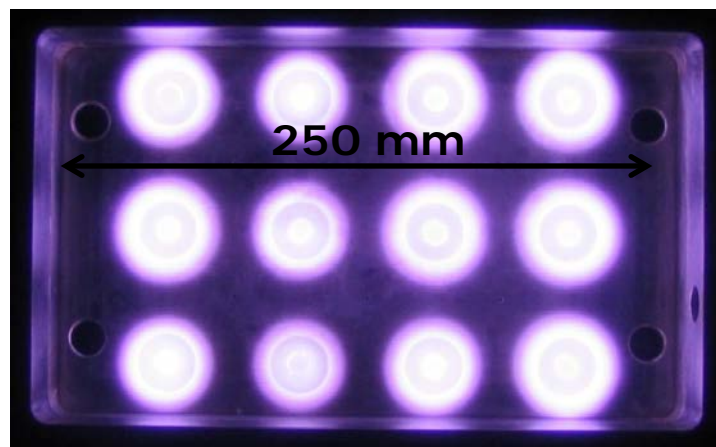


Contact angle variation $\Delta\theta = \theta_{in} - \theta_{fin}$ as a function of time processing (200 W)

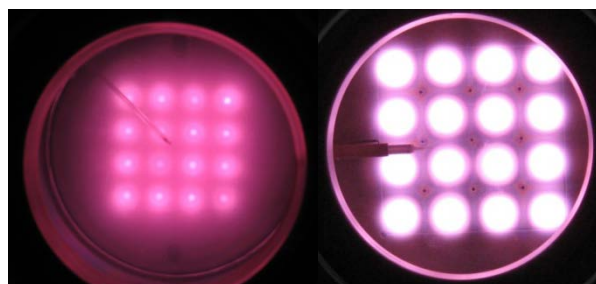
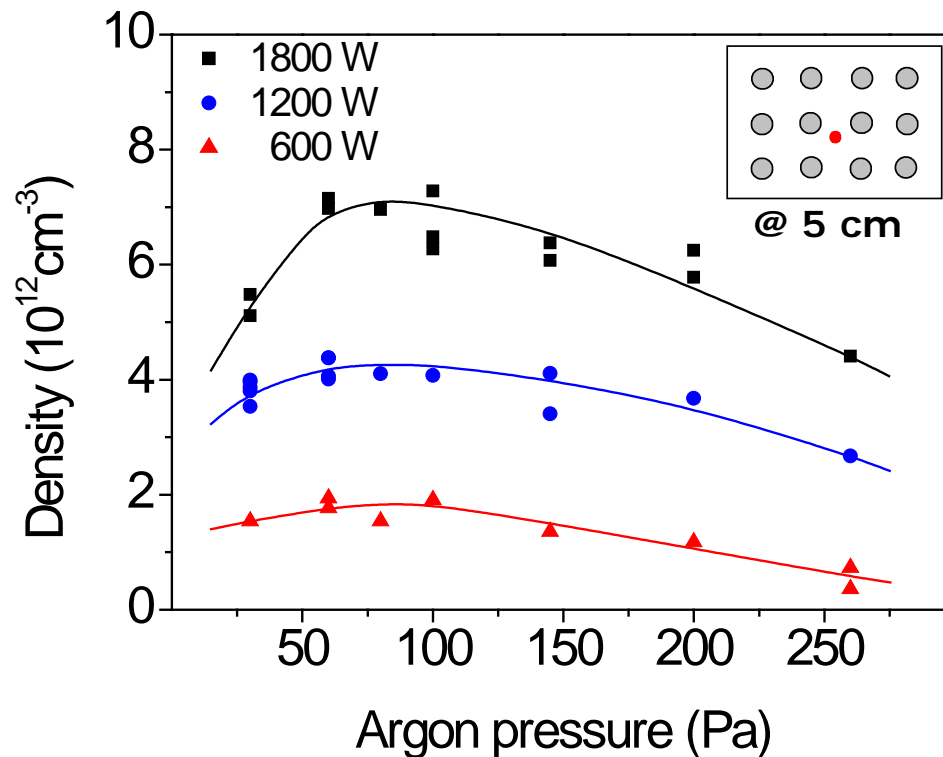
Measurements in ambient atmosphere (2–5 minutes) \Rightarrow Recontamination

Microwave plasma / 2D- matrix configuration Applications to PECVD deposition

- Application to surface processes with high processing rates
 - High plasma density ($> 10^{12} \text{ cm}^{-3}$) over 0.1 Torr - few Torr pressure range



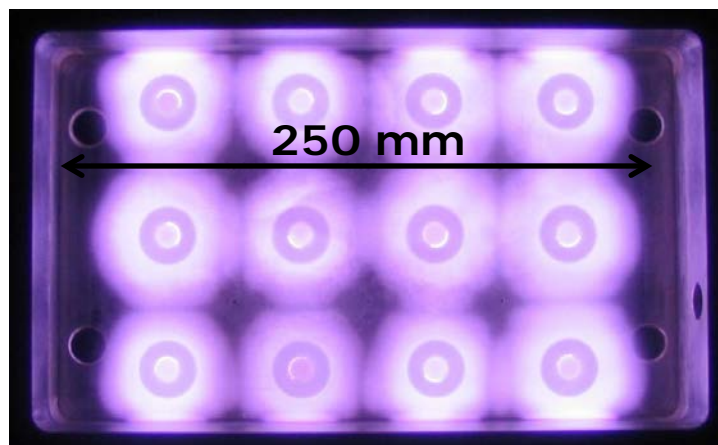
Localized plasma
(500 W, 41.7 W/S)



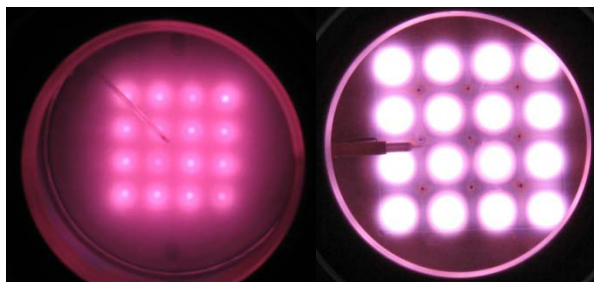
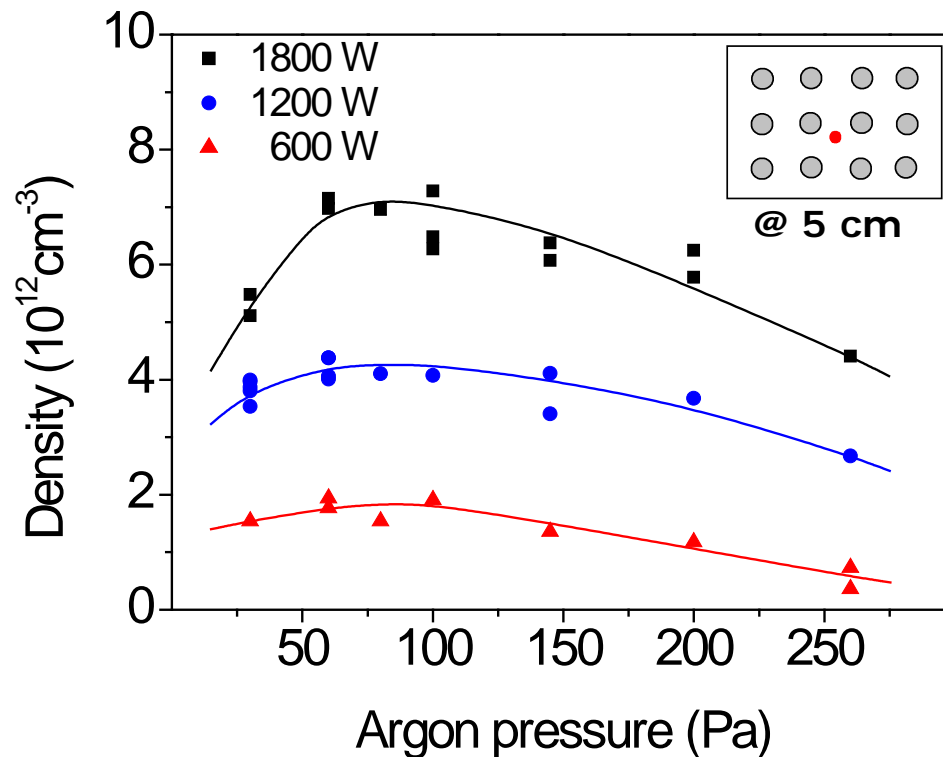
- New application to large area polycrystalline diamond deposition (LSPM - CNRS - University Paris 13)
- Photo : H₂, 0.2 and 1 Torr, 100 W/source

Microwave plasma / 2D- matrix configuration Applications to PECVD deposition

- Application to surface processes with high processing rates
 - High plasma density ($> 10^{12} \text{ cm}^{-3}$) over 0.1 Torr - few Torr pressure range



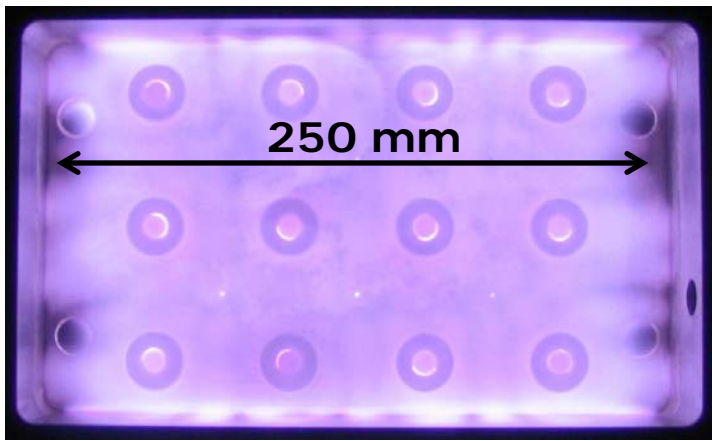
Plasma expansion ($P \uparrow$)



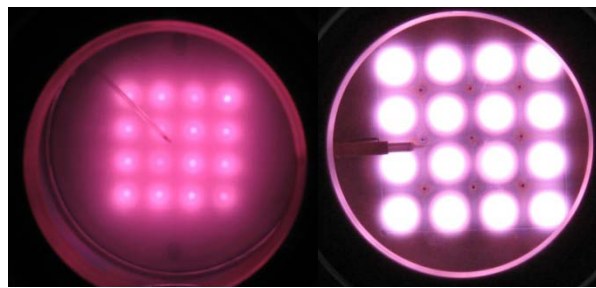
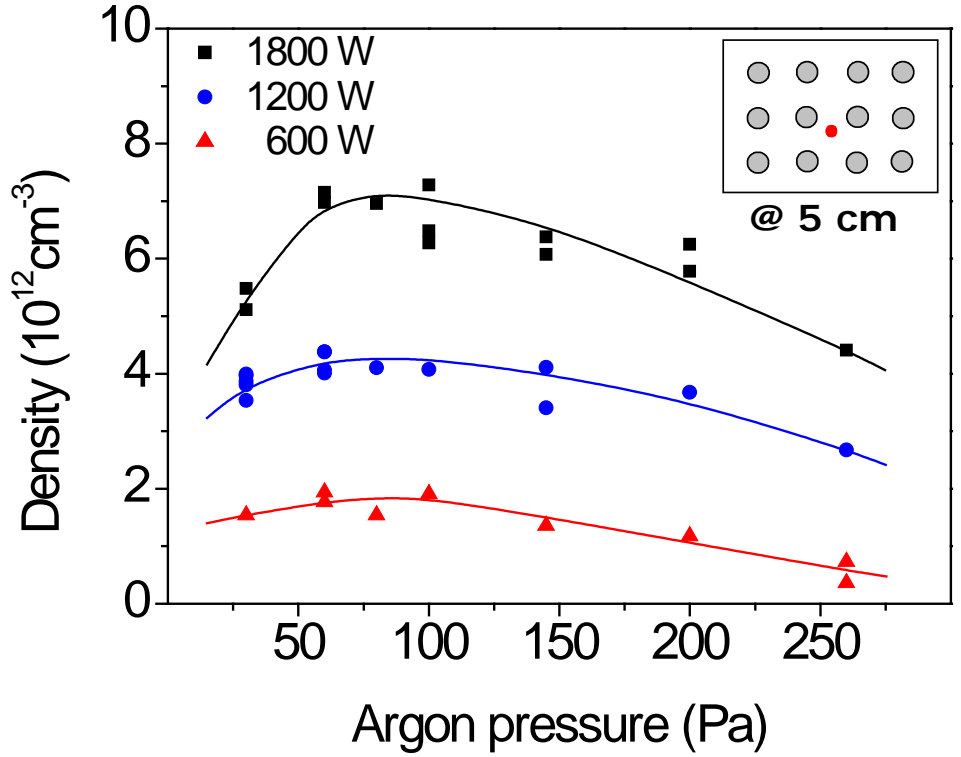
- New application to large area polycrystalline diamond deposition (LSPM - CNRS - University Paris 13)
- Photo : H_2 , 0.2 and 1 Torr, 100 W/source

Microwave plasma / 2D- matrix configuration Applications to PECVD deposition

- Application to surface processes with high processing rates
 - High plasma density ($> 10^{12} \text{ cm}^{-3}$) over 0.1 Torr - few Torr pressure range



Uniform plasma
(1500 W, 125 W/S)

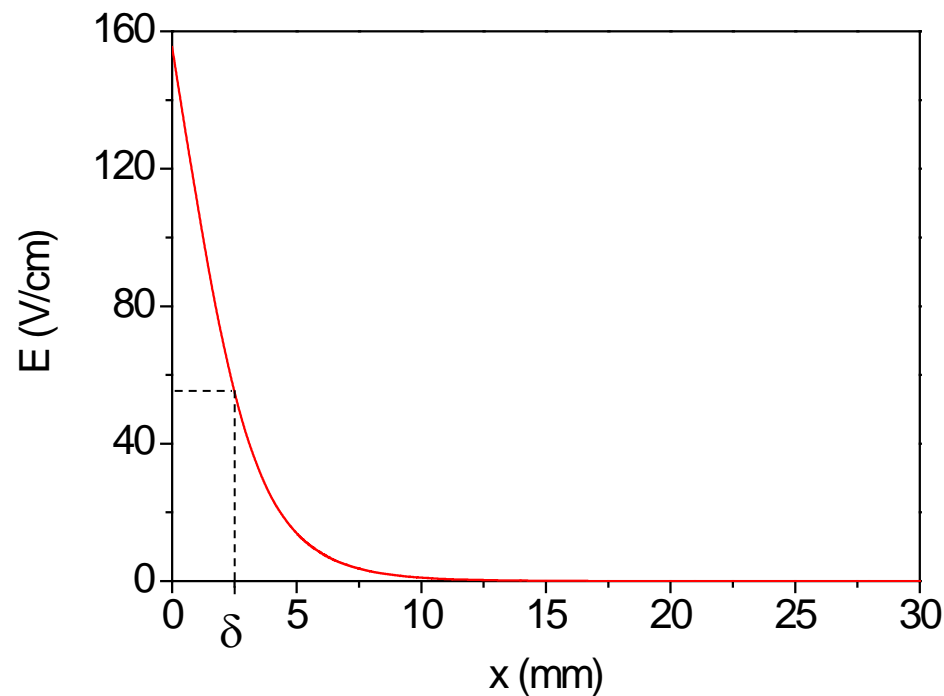
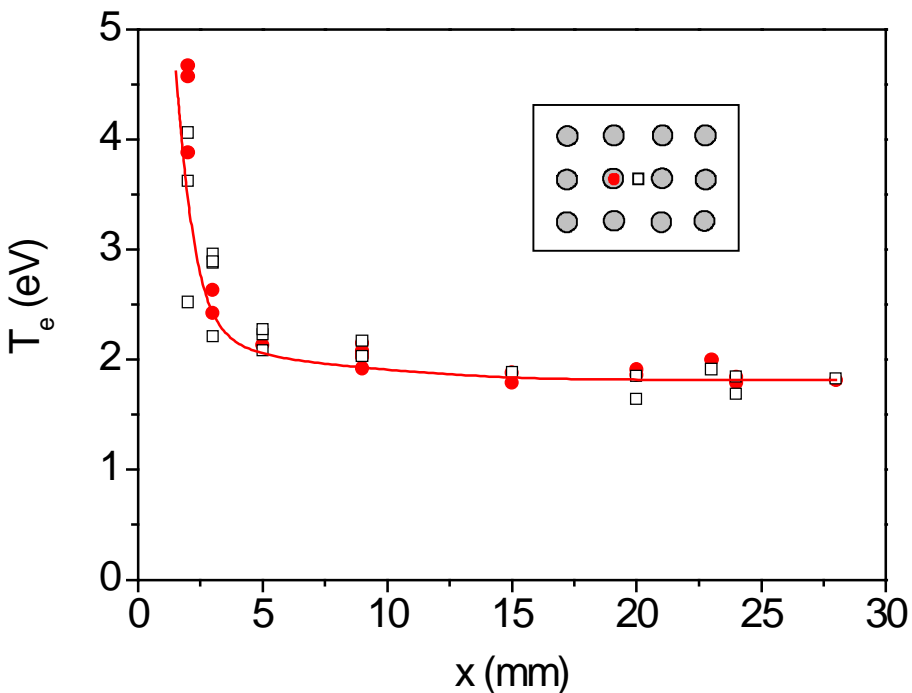


- New application to large area polycrystalline diamond deposition (LSPM - CNRS - University Paris 13)
- Photo : H_2 , 0.2 and 1 Torr, 100 W/source

Microwave plasma / 2D- matrix configuration

Applications to PECVD deposition

Température électronique en fonction de la distance par rapport au plan de source



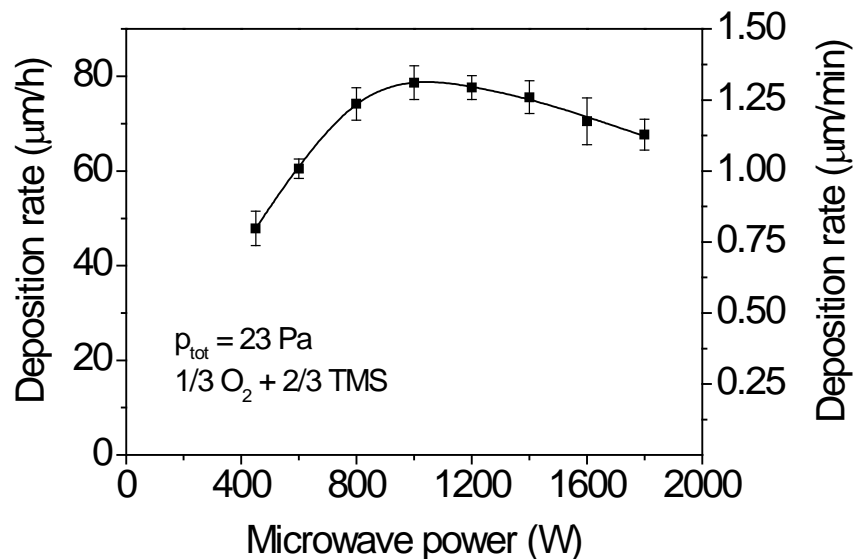
- T_e élevée à proximité du plan de source (fort champ HF)
- T_e constante dans le corps du plasma à partir de $x \geq \delta$ (épaisseur de peau)

$p_{Ar} = 60 \text{ Pa}$
 $T_g = 500 \text{ K}$
 $P_W = 1200 \text{ W}$

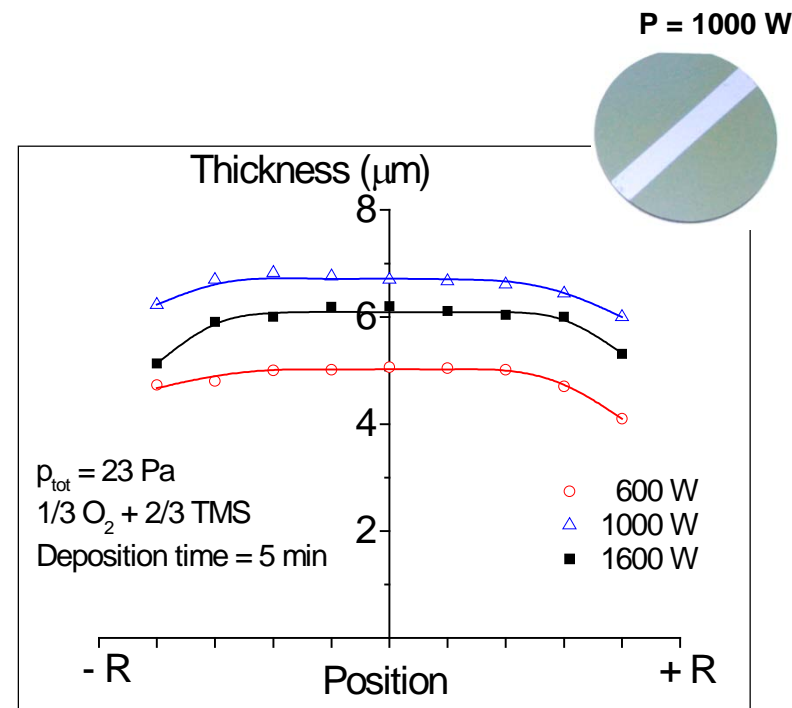
Microwave plasma / 2D- matrix configuration

Applications to PECVD deposition

- Evaluate deposition rate and uniformity of SiCH based films for anticorrosion or passivation applications
- SiOCH (O_2 / TMS, 20 to 70 Pa, 150 to 500 mTorr)



High deposition rate as a function of microwave power (O_2 /TMS plasma)



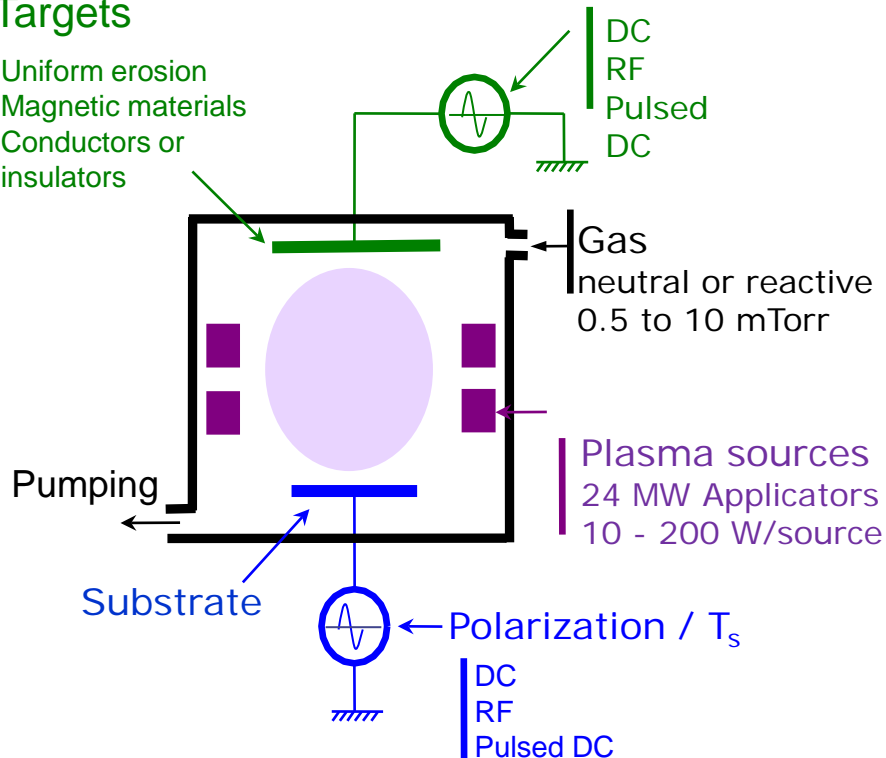
Thickness uniformity of SiOCH films better than 5 % (O_2 / TMS plasmas, wafer 2R = 75 mm)

Plasma assisted sputtering: adequate technology for deposition of complex thin film materials



Targets

- Uniform erosion
- Magnetic materials
- Conductors or insulators



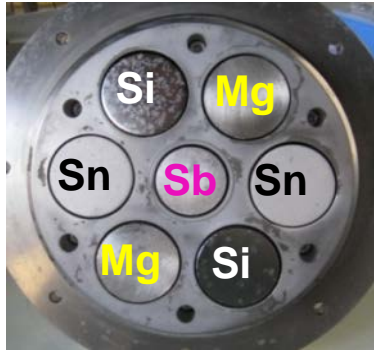
■ Features of the process

- Quasi-Independent control of process parameters
 - Particle flux (\leftarrow microwave power)
 - Energy flux (\leftarrow independent & individual bias)
 - Selective pulsed microwave power (plasma excitation mode)
- In-situ processing (sequential steps in the same plasma chamber)
 - Substrate cleaning
 - Cleaning and conditioning of targets
 - Deposition process
- No magnetic field behind targets
 - Reliability / No drift of process parameters
 - Sputtering of magnetic materials

■ Thin film materials

- Complex compounds (co-sputtering)
- Fully controlled composition

Plasma assisted sputtering: adequate technology for deposition of complex thin film materials

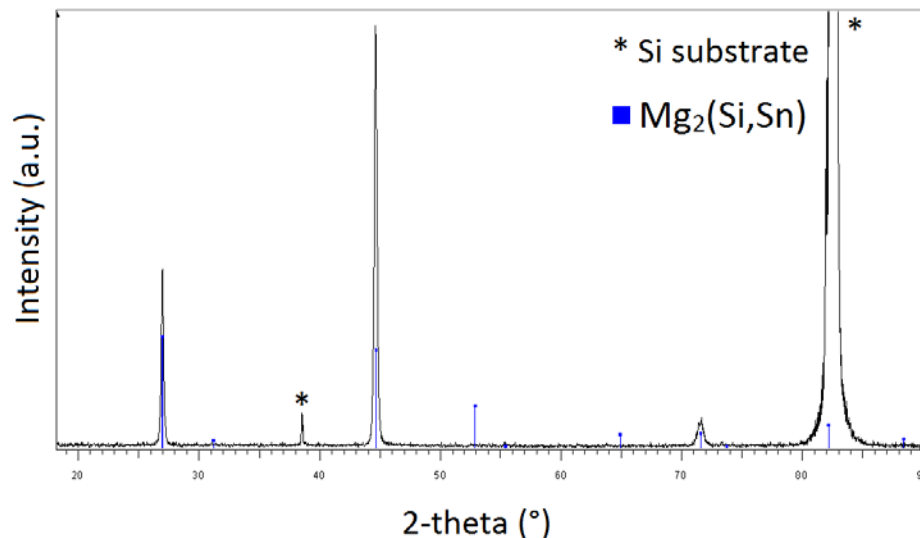


Ternary films grown - $Mg_2(Si,Sn)$ - Thermoelectric material

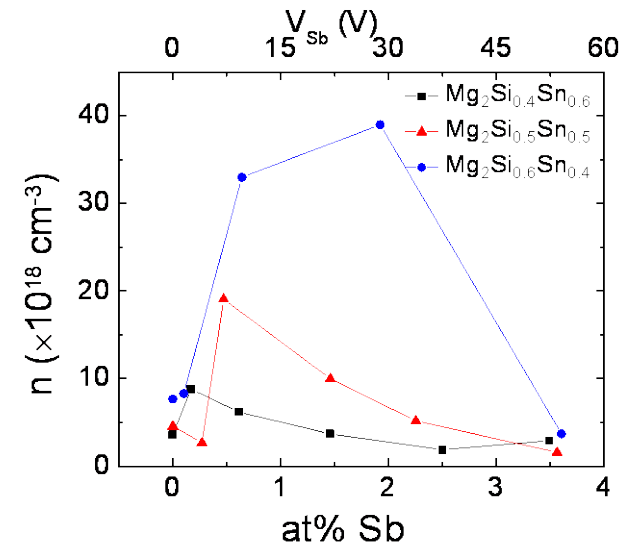
Process parameters : 2 kW, 1 mTorr, 350 /420/220 V (Mg/Si/Sn),
 $V_S = V_f$, 2h, d = 12 cm

■ Fully controlled stoichiometry

■ Controlled doping content



X-ray diffraction pattern for $Mg_2Si_{0.4}Sn_{0.6}$ solid-solution



Variation of charge concentration with Sb doping

Plasma assisted sputtering: adequate technology for deposition of complex thin film materials

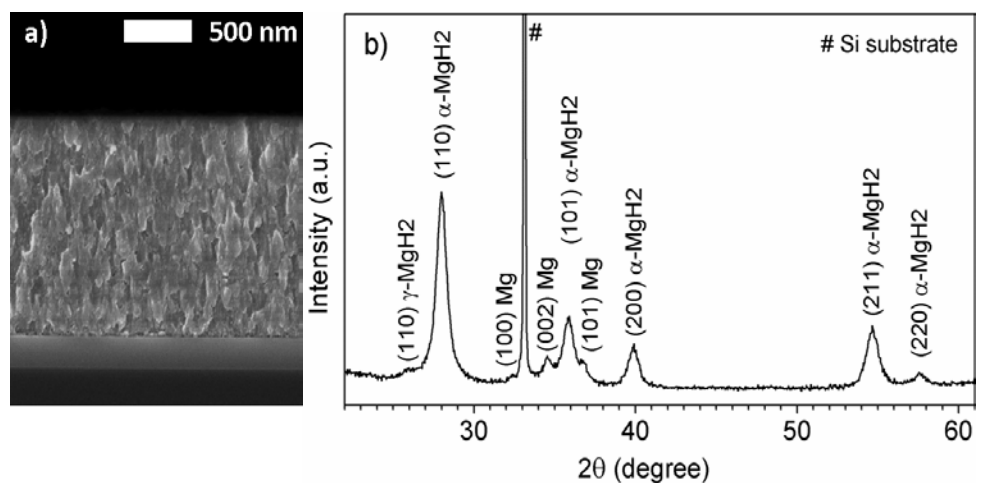
- Magnesium hydride $\text{MgH}_2 \rightarrow \text{Mg}_7\text{TMH}_x$ hydrides (TM - transition metal)
 - Lower desorption temperature ($\sim 160^\circ\text{C}$) than MgH_2 (360°C)
 - High storage capacity (i.e. ~ 5.5 wt.% for Mg_7TiH_x) comparable to MgH_2 (i.e. ~ 7 wt.%)

□ Methods for MgH_2 thin films synthesis

- Ex-situ process
 - Mg deposition+ High Pressure hydrogenation
- In-situ process (direct synthesis)
 - RF reactive sputtering (mTorr Ar/ H_2)
 - Activated RE (0.2 mTorr H)

□ Main issues

- MgTM no stable phase \rightarrow in-situ hydrogenation is mandatory
- In-situ process: incomplete hydrogenation (% $\text{MgH}_2 \sim 40-80$ mol%)



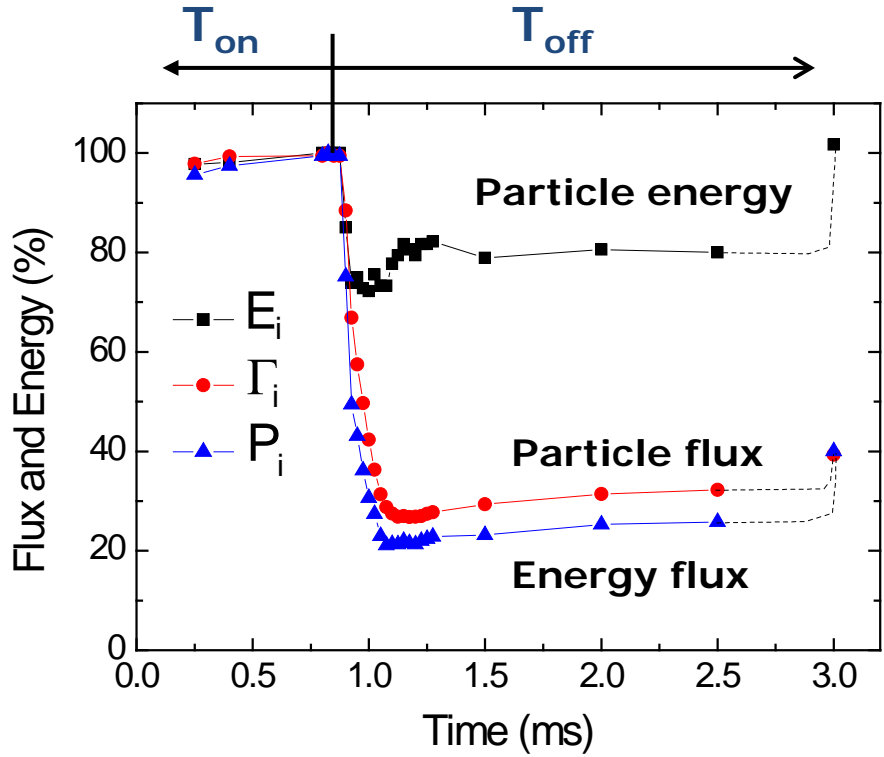
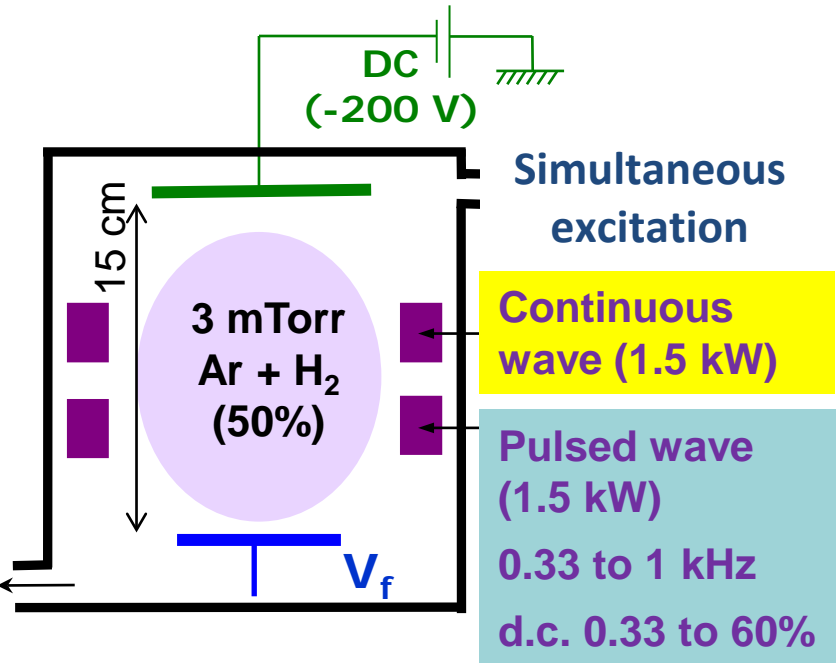
SEM fracture cross-sectional image (a) and XRD pattern (b) of film deposited in pulsed mode (see hereafter)

□ Microwave plasma / Process flexibility

- Higher control of the process leading to the optimization of the MgH_2 content

Plasma assisted sputtering: adequate technology for deposition of complex thin film materials

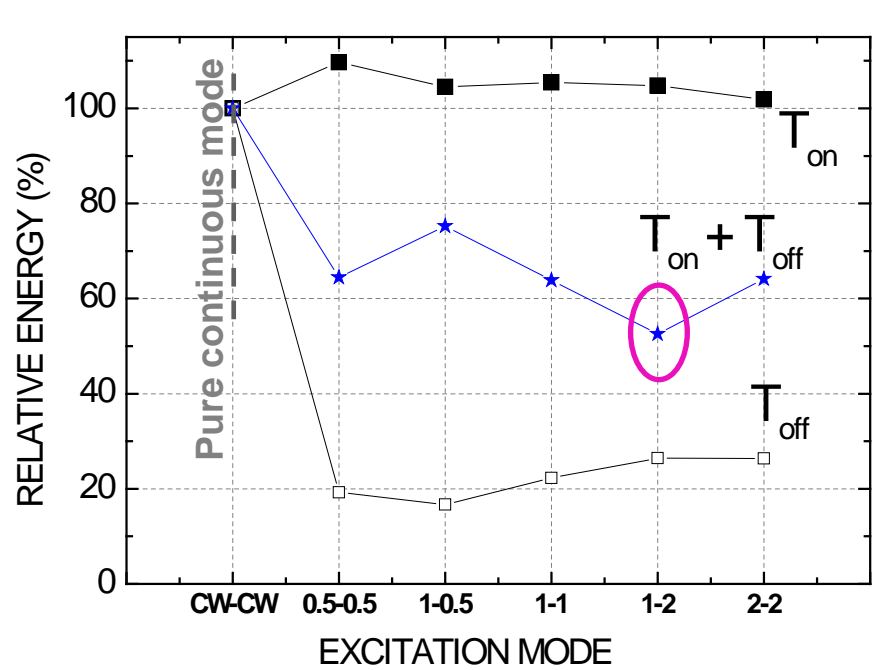
- ❑ Magnesium hydride MgH_2 deposited by reactive sputtering
- ❑ Hybrid excitation mode: control of the Flux & Energy flux of the most particles providing energy on the deposition surface



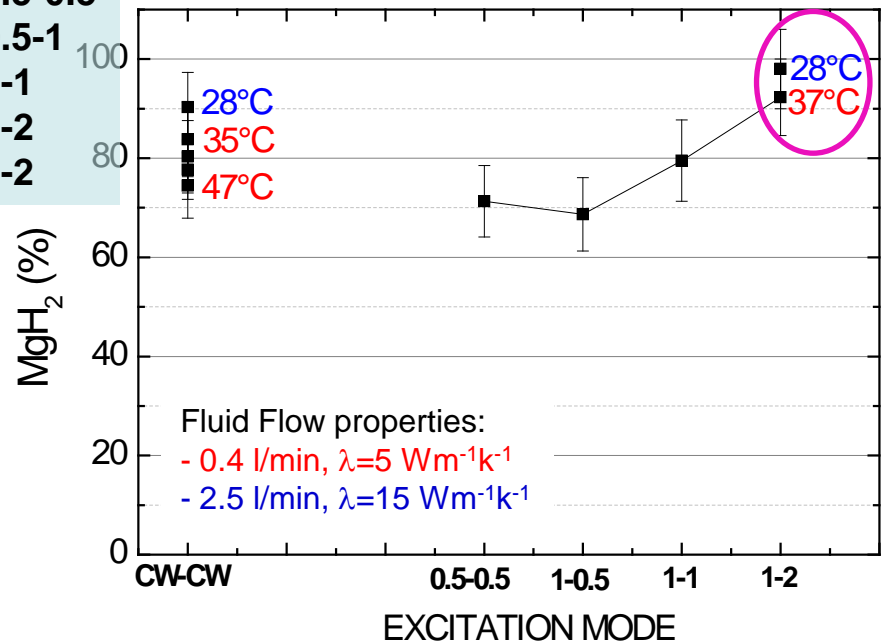
■ Energy flux reduced of 80% - T_{off}

Plasma assisted sputtering: adequate technology for deposition of complex thin film materials

Cycles $T_{on} - T_{off}$ (ms-ms)



0.5-0.5
0.5-1
1-1
1-2
2-2



Energy flux for different sets of $T_{on} - T_{off}$ (normalized to the energy flux of the entirely continuous mode CW-CW)

MgH₂ content as a function of excitation mode for different substrate temperatures
[≥ 98 mol% for 1-2 (ms) cycle]

- Optimization of the MgH₂ content by the management of the energy through substrate temperature (thermal energy) and pulsed excitation mode (local and transient energy)

Plasmas micro-onde

Avantages et inconvénients

□ Avantages

- ▶ *Configurations très variées (compactes ou étendues) pour l'obtention des plasmas homogènes sur grandes dimensions*
- ▶ *Absence d'électrodes - contamination limitée, pas de bombardement des surfaces (gaines)*
- ▶ *Polarisation indépendante des surfaces sans incidence sur l'impédance du plasma (contrairement aux décharges RF capacitives)*
- ▶ *Plasma pulsé sans problèmes d'accord d'impédance*
- ▶ *Large domaine opératoire*
 - Haute densités (procédés grande vitesse) ou basses densités (fiable température de gaz)
 - Pression de 10^{-1} mTorr jusqu'à la pression atmosphérique
 - Puissance de 100 mW à 6 kW
 - Possibilité ECR (hautes densités à très basse pression)

□ Inconvénients

- ▶ *Fenêtre diélectrique (injection des micro-ondes, passage sous vide)*